

G-0力を用いた核物質中の π 凝縮再訪

Teiji Kunihiro (YITP, Kyoto)

The last part of this talk is based on an unpublished joint work with Yuta Kikuchi.

「熱場の量子論とその応用」

Sep. 9-11, 2024, YITP, Kyoto

内容

1. 核子多体系におけるテンソル力の役割
2. Π 凝縮：何が凝縮するのか？
3. テンソル力とパイ中間子凝縮
4. 拡張されたG-0 forceに基づく π 中間子凝縮の解析
5. OPEP+g' modelを用いたパイオンモードのソフト化とパイ中間子凝縮臨界条件の解析
6. G-0 forceを用いた Π 中間子凝縮の前駆モード: スピン縦波モード
 - a. Δ -hole励起を含まない場合
 - b. Δ -hole励起を含める場合 (preliminary)
7. まとめと展望

1. 核子多体系におけるテンソル力の役割

OPEP(One-Pion-Exchange Potential)

$$V_{\text{OPEP}}(r) = f^2 m_\pi \frac{\tau_1 \cdot \tau_2}{3} \left[(\sigma_1 \cdot \sigma_2 Y(m_\pi r) + S_{12} Z(m_\pi r)) \right],$$

T=1: 1 **Central** **Tensor**
 T=0: -3

$$Y(x) = \exp(-x)/x, \quad Z(x) = (1 + 3/x + 3/x^2)Y(x),$$

π

$$S_{12} = 3(\sigma_1 \cdot \hat{r})(\sigma_2 \cdot \hat{r}) - (\sigma_1 \cdot \sigma_2)$$

Tensor operator ($\hat{r} = r/r$).

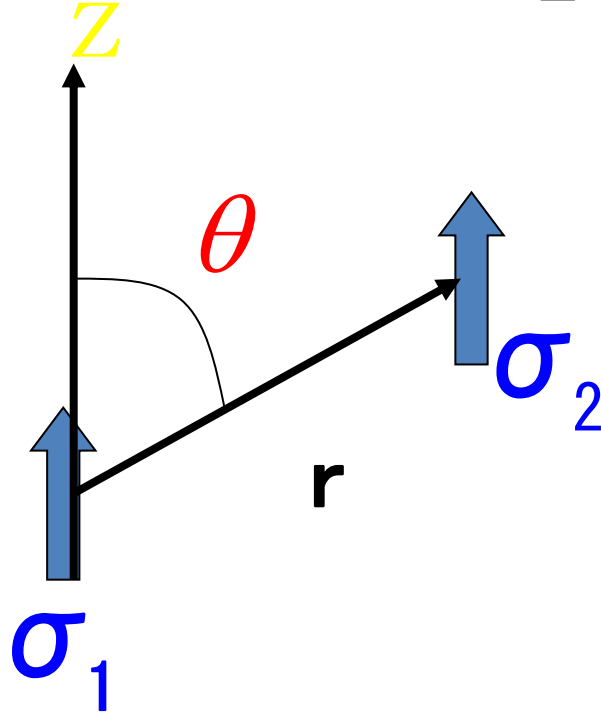
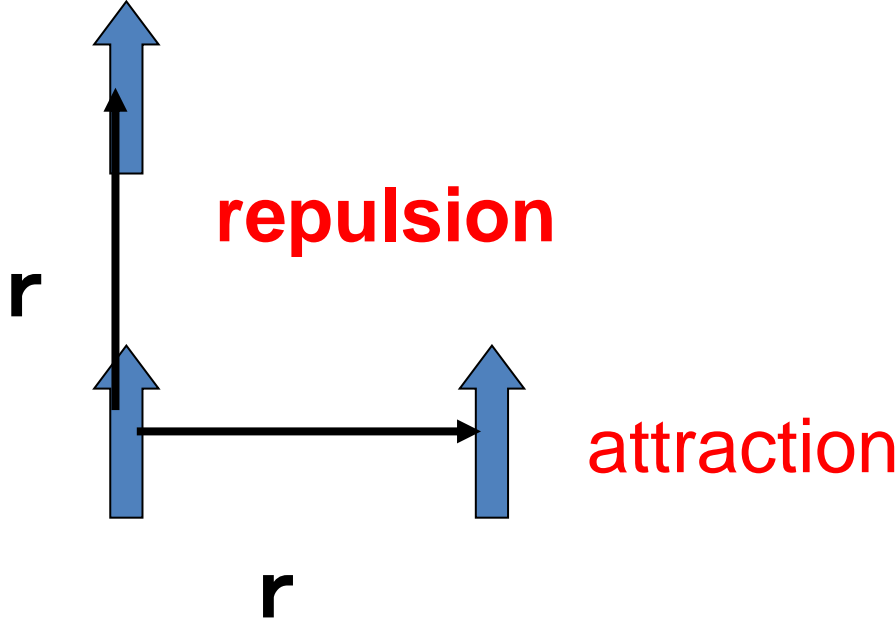
$$= 3 \cos^2 \theta - 1 \quad \uparrow \uparrow$$

$$= -3 \cos^2 \theta + 1 \quad \uparrow \downarrow$$

Spin 2階X空間2階の規約演算子



スピントリプレットのみ作用



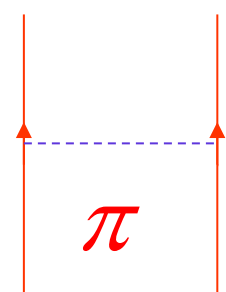
OPEP(One-Pion-Exchange Potential)

$$V_{\text{OPEP}}(r) = f^2 m_\pi \frac{\tau_1 \cdot \tau_2}{3} \left[(\sigma_1 \cdot \sigma_2) Y(m_\pi r) + S_{12} Z(m_\pi r) \right],$$

Central

Tensor

$$Y(x) = \exp(-x)/x, \quad Z(x) = (1 + 3/x + 3/x^2)Y(x).$$

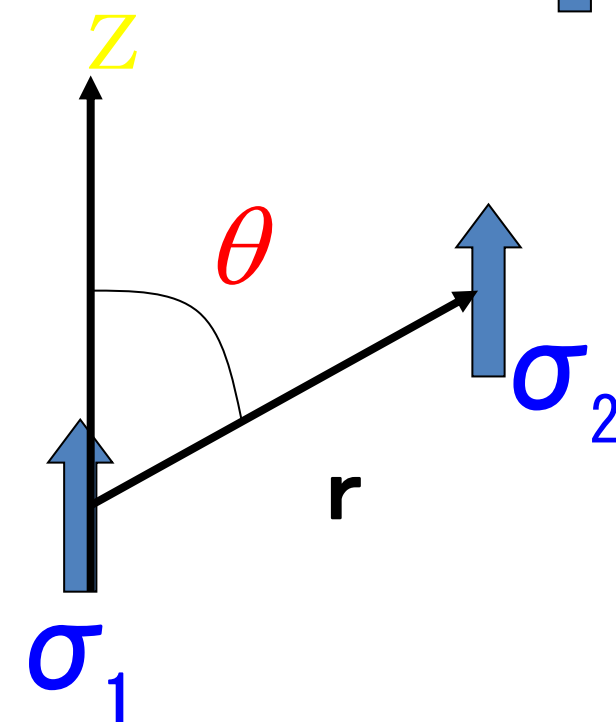
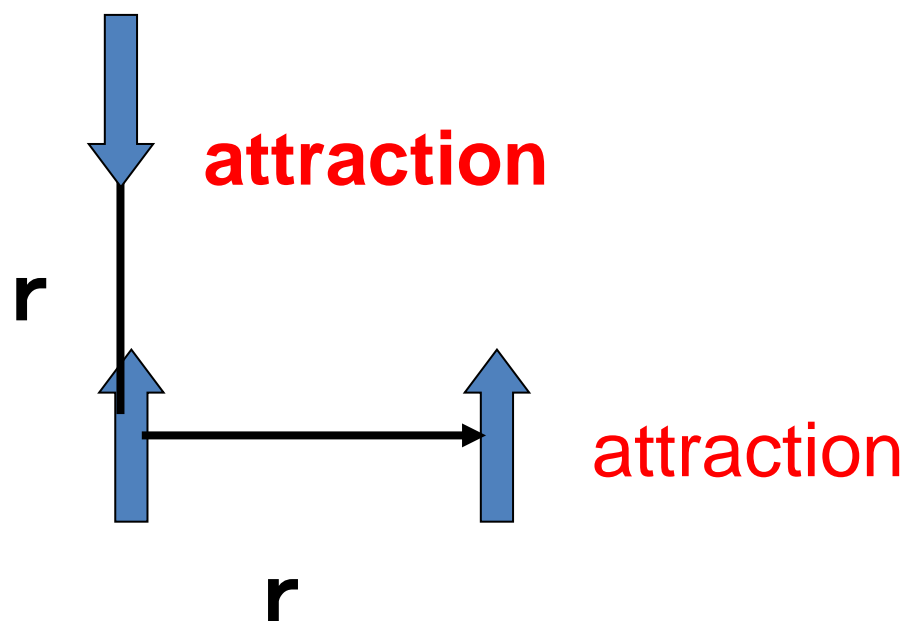


$$S_{12} = 3(\sigma_1 \cdot \hat{r})(\sigma_2 \cdot \hat{r}) - (\sigma_1 \cdot \sigma_2)$$

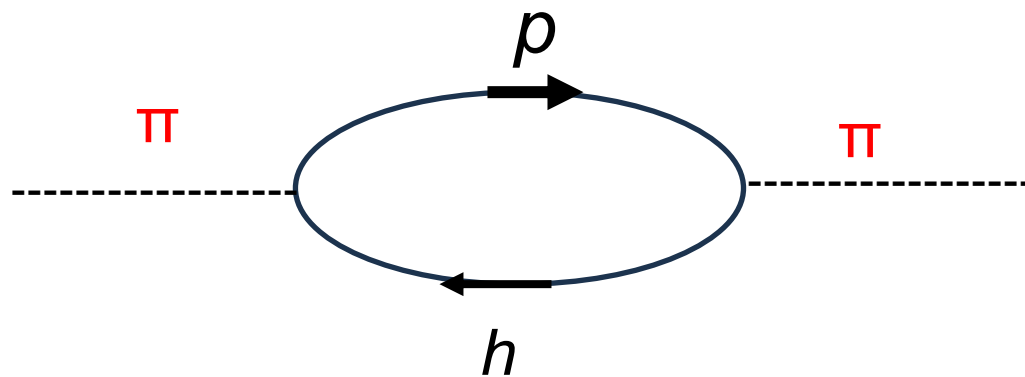
Tensor operator ($\hat{r} = r/r$).

$$= 3 \cos^2 \theta - 1 \quad \begin{matrix} \uparrow \uparrow \\ \uparrow \downarrow \end{matrix}$$

$$= -3 \cos^2 \theta + 1 \quad \begin{matrix} \uparrow \uparrow \\ \uparrow \downarrow \end{matrix}$$



2.パイ中間子凝縮: 何が凝縮するのか？



Collective mode as the precursor of **Neutral** Pion π^0 Condensation

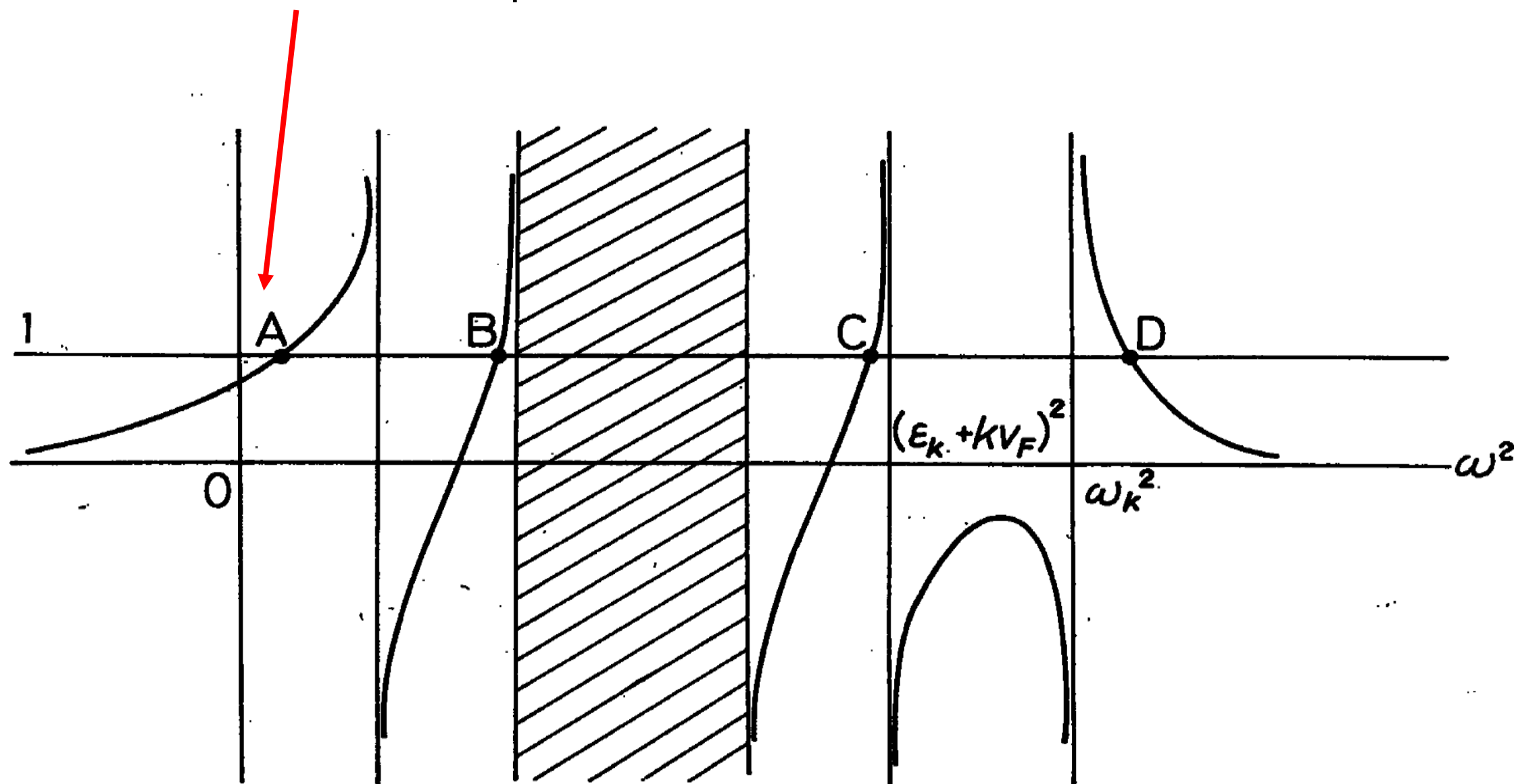


Fig. 2. The right-hand side of the eigenvalue equation (3.14) as a function of ω^2 , for $\omega_k > \epsilon_k + kv_F$.

A. Suzuki, Y. Futami and Y. Takahashi, PTP54(1975), 1429

p-h 集団モードの不安定性 \longrightarrow 核子系の構造相転移

Collective mode as the precursor of **Charged** Pion Condensation and the Critical Condition given as a **Double Pole**

p-n collective mode with π^+ quantum number

荷電 π 中間子とp-h集団モードの結合モードの不安定性

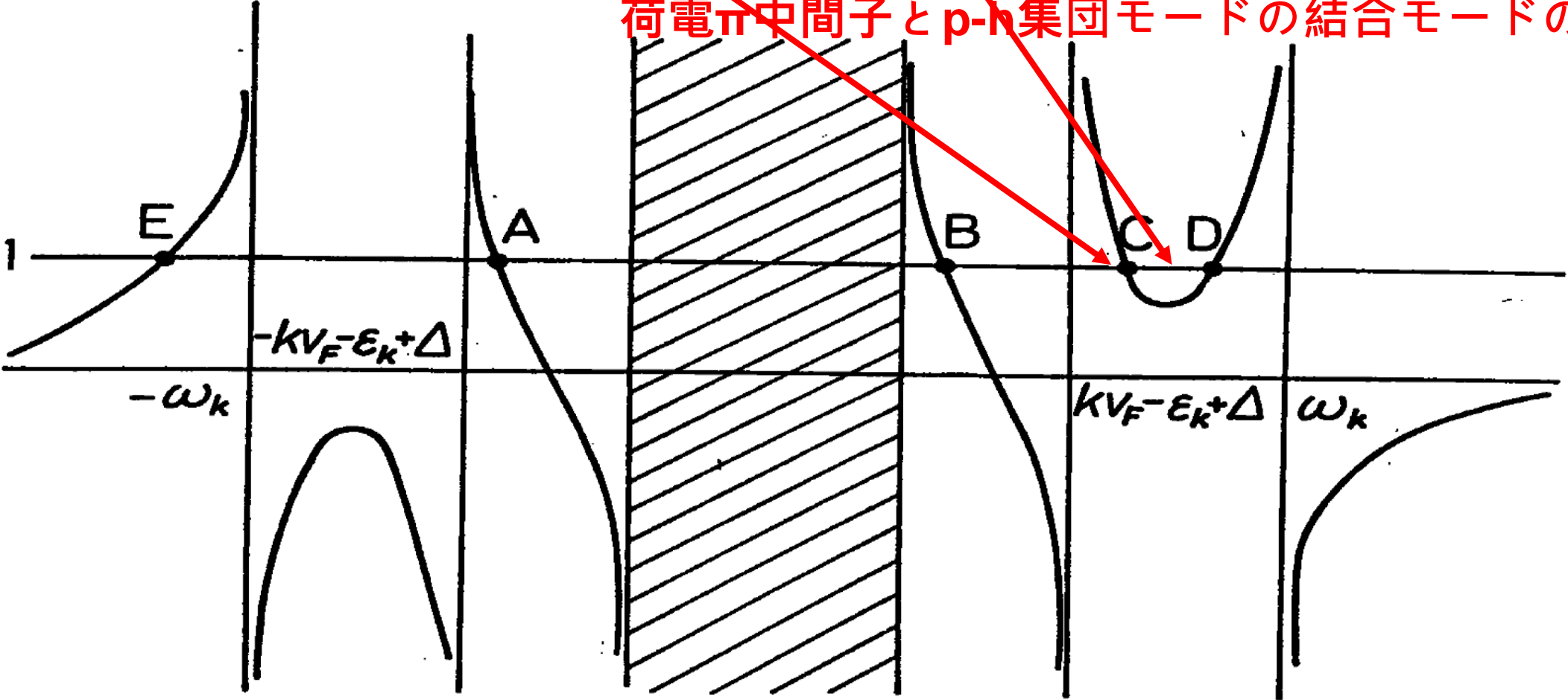
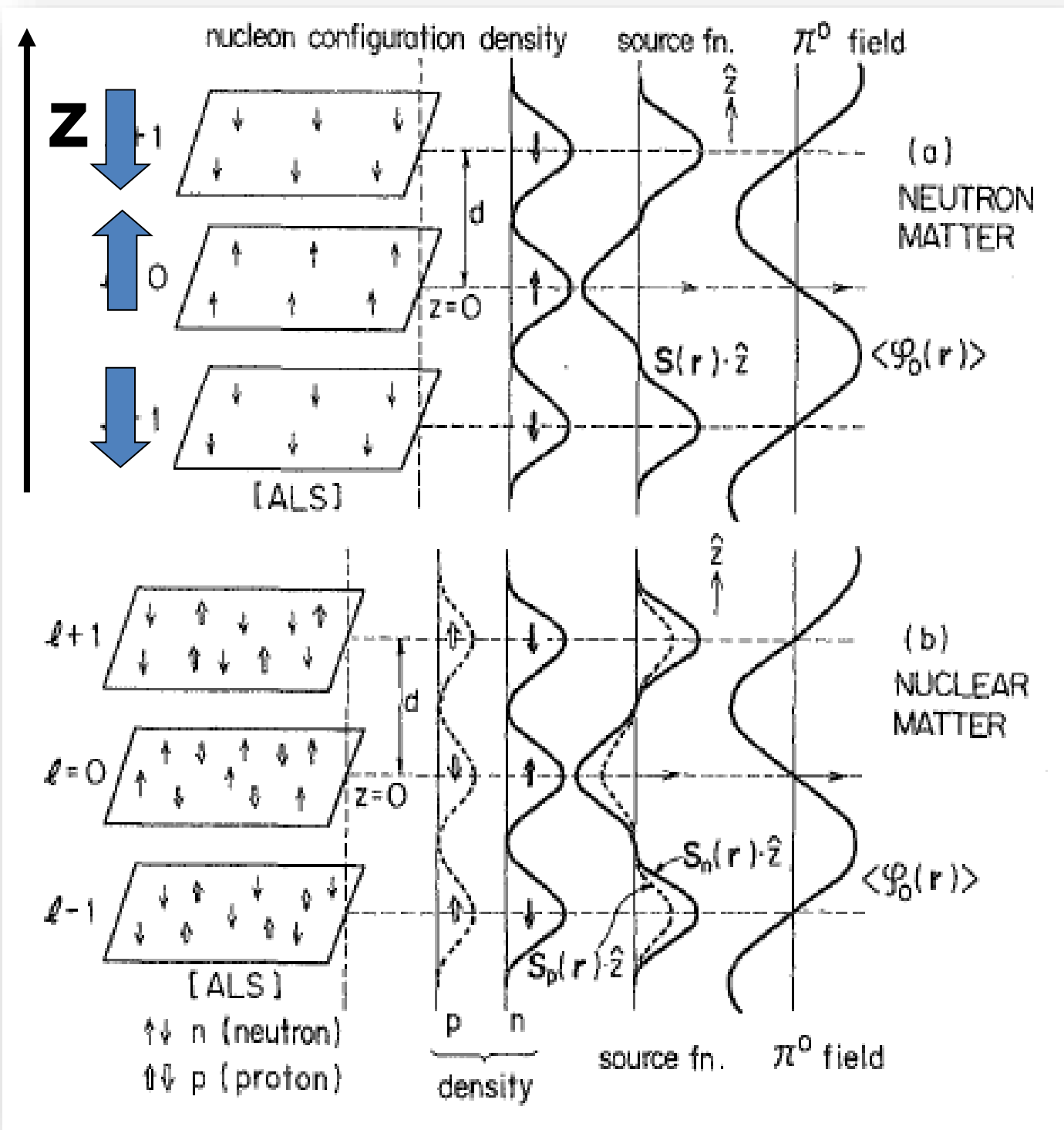


Fig. 3. The right-hand side of the eigenvalue equation (3.21) as a function of ω , for $\omega_k > kv_F - \epsilon_k + \Delta$.

3.中性パイ中間子凝縮とテンソル力

p-wave Neutral Pion-condensed Baryonic Matter;
 pion-induced tensor-force dominating phase



A.B. Migdal, Sawyer-Scalapino ('72)
 Pion condensed phase
 = Alternating-Layer Spin (ALS)
 structure of the nucleon System
 (R.Tamagaki et al (1976~))

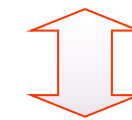
$$(\nabla^2 - m_\pi^2) \langle \varphi_0(\mathbf{r}) \rangle = \tilde{f} \nabla \cdot \mathbf{S}(\mathbf{r})$$

$$\mathbf{S} = \langle \Phi_N | \psi^\dagger(\xi, t) \tau_3 \boldsymbol{\sigma} \psi(\xi, t) | \Phi_N \rangle$$

$$|\Phi_{ALS}\rangle \longleftrightarrow \nabla \cdot \mathbf{S}(\mathbf{r}) \neq 0$$

$$\langle \varphi_0(\mathbf{r}) \rangle \neq 0.$$

Pi : longitudinal spin-isospin density wave



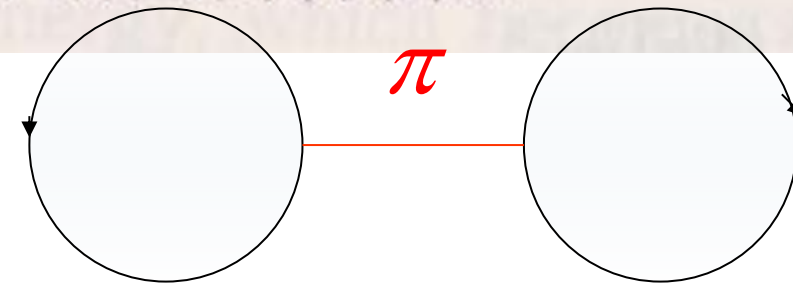
transverse spin-isospin density wave

c.f. ρ meson condensation :

T.K., PTP 60 (1978), 1229

Potential description: OPEPの直接項が有限!

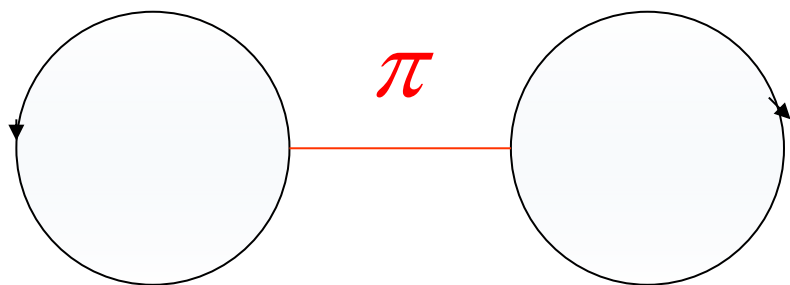
$$\begin{aligned}
 & \langle \Phi_0 | H_{\pi^0} + H_{\pi^0-N} | \Phi_0 \rangle \\
 &= \frac{1}{2} \sum_{\alpha, \beta}^{(\text{occ})} \int d\xi \int d\xi' \phi_\alpha^*(\xi) \phi_\beta^*(\xi') \\
 & \quad \times \left\{ -\left(\frac{f^2}{4\pi m_\pi} \right) \tau_3 \tau_3' (\boldsymbol{\sigma} \cdot \nabla) (\boldsymbol{\sigma}' \cdot \nabla') Y(m_\pi |\mathbf{r} - \mathbf{r}'|) \phi_\alpha(\xi) \phi_\beta(\xi') \right\} \\
 &= \frac{1}{2} \sum_{\alpha, \beta}^{(\text{occ})} \langle \phi_\alpha(1) \phi_\beta(2) | V^{\text{OPE}}(1, 2) | \phi_\alpha(1) \phi_\beta(2) \rangle .
 \end{aligned}$$



Field description:

$$\langle \Phi_0 | H_{\pi^0} + H_{\pi^0-N} | \Phi_0 \rangle = -\frac{1}{2} \int d\mathbf{r} \{ (\nabla \varphi_0(\mathbf{r}))^2 + m_\pi^2 \langle \varphi_0(\mathbf{r}) \rangle^2 \} .$$

c.f.



=0, for normal nuclear matter

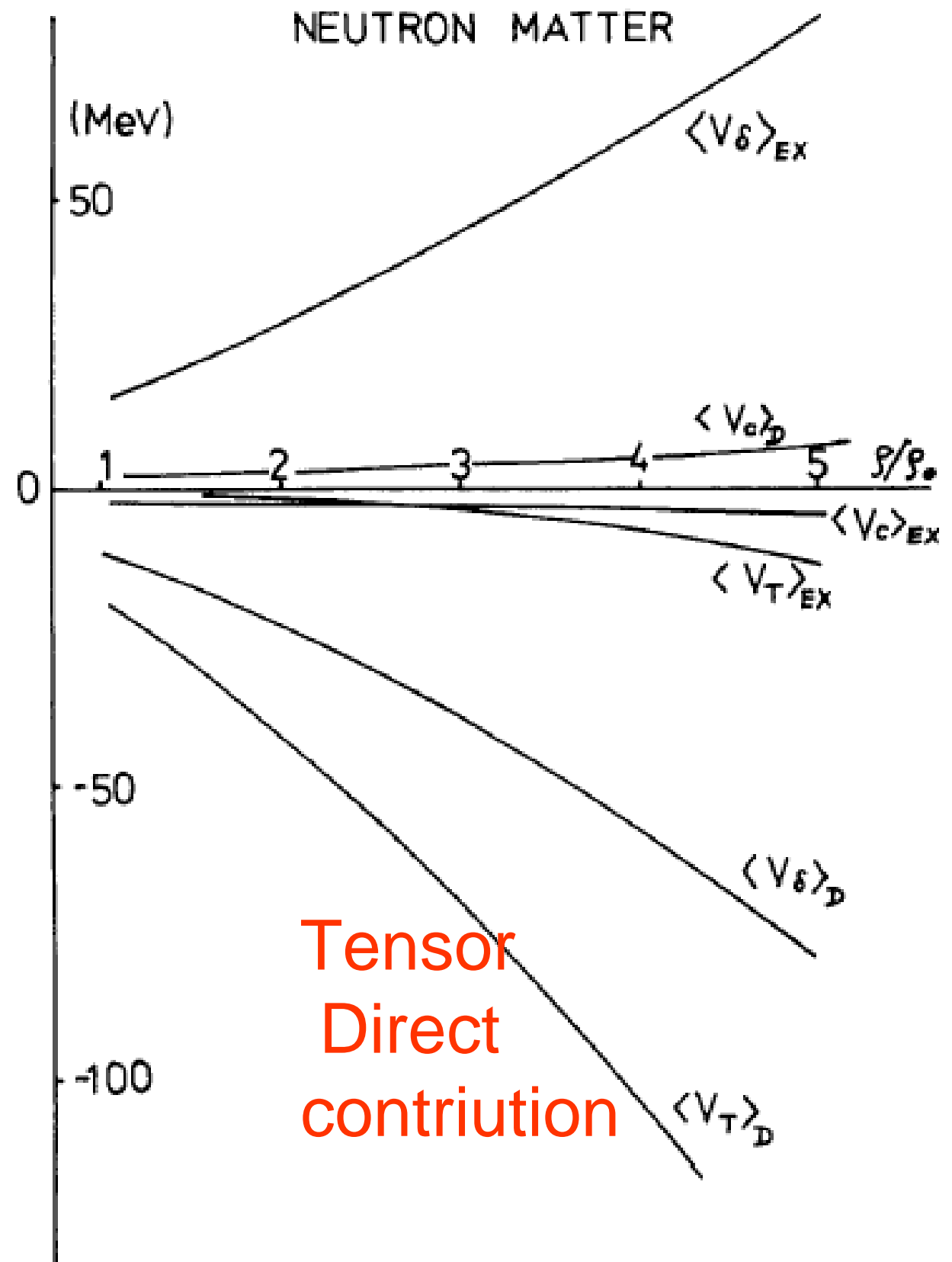
素朴なPure OPEPの結果

Pion-condensed phase



'Tensor-force Dominating Phase'

T.Takatsuka,
R.Tamgaki and
T.Tatsumi,
PTP Suppl 112('93)



4. 拡張されたG-0forceを用いた π 中間子凝縮の解析

G-0 forceは核子間相互作用のテンソル部分まで含んでいて、Reid potentialを用いたG-matrix計算の結果をよく再現する有効核力である。

Sprung and Banerjee Nucl.Phys.A168(1971), Sprung Nucl.Phys.A182(1972)

Five-range Gauss with a density dependence: $\beta = {}^3O, {}^1E, {}^3E$ and 1O

$$\tilde{V}_C(r; \beta) = \sum_{i=1}^5 W_{Ci}(\beta; p_F) \exp(-r^2/\lambda_i^2), \quad \tilde{V}_T(r; \beta) = \sum_{i=1}^5 W_{Ti}(\beta; p_F) r^2/\lambda_i^2 \cdot \exp(-r^2/\lambda_i^2),$$

$$W_i(\beta; p_F) = (a_i(\beta) + b_i(\beta) p_F^\alpha) \text{ with } \alpha = 1/2$$

In terms of the projection operators to the respective states,

$$V_C = V_{1E} \frac{1 - \sigma_1 \cdot \sigma_2}{4} \frac{3 + \tau_1 \cdot \tau_2}{4} + V_{1O} \frac{1 - \sigma_1 \cdot \sigma_2}{4} \frac{1 - \tau_1 \cdot \tau_2}{4} + V_{3E} \frac{3 + \sigma_1 \cdot \sigma_2}{4} \frac{1 - \tau_1 \cdot \tau_2}{4} + V_{3O} \frac{3 + \sigma_1 \cdot \sigma_2}{4} \frac{3 + \tau_1 \cdot \tau_2}{4}$$

i.e.

$$\begin{pmatrix} V_C \\ V_\sigma \\ V_\tau \\ V_{\sigma\tau} \end{pmatrix} = \frac{1}{16} \begin{pmatrix} 3 & 1 & 3 & 9 \\ -3 & -1 & 1 & 3 \\ 1 & -1 & -3 & 3 \\ -1 & 1 & -1 & 1 \end{pmatrix} \begin{pmatrix} V_C({}^1E) \\ V_C({}^1O) \\ V_C({}^3E) \\ V_C({}^3O) \end{pmatrix}$$

$$V_{1,2}^C = V_1 + V_\sigma \sigma_1 \cdot \sigma_2 + V_\tau \vec{\tau}_1 \cdot \vec{\tau}_2 + V_{\sigma\tau} (\sigma_1 \cdot \sigma_2)(\vec{\tau}_1 \cdot \vec{\tau}_2)$$

Similarly,

$$V_{1,2}^T = V_1^T S_{12}(\hat{r}_{12}) + V_\tau^T \vec{\tau}_1 \cdot \vec{\tau}_2 S_{12}(\hat{r}_{12})$$

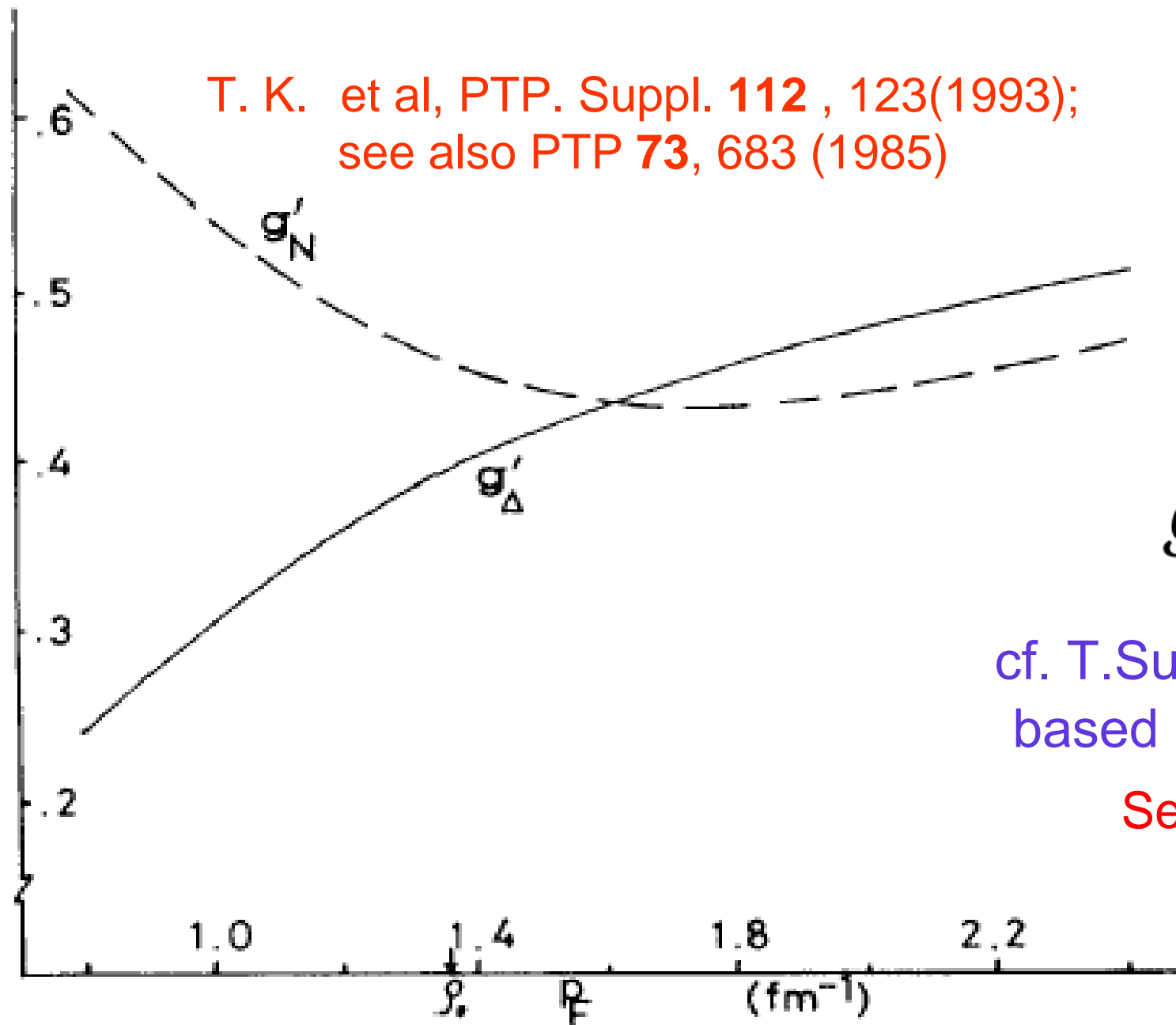
The density dependence of the Landau-Migdal parameters in the N-N and Δ -N channels from G-0 force

$$G_{\Delta}'(\mathbf{p}_1, \mathbf{p}_2) \boldsymbol{\sigma}_1 \cdot \mathbf{S}_{2\tau_1} \cdot \mathbf{T}_2$$

$$G_{\Delta}'(\mathbf{p}_1, \mathbf{p}_2) = \sum_{l=0}^{\infty} G'_{\Delta l} P_l(\cos \theta).$$

$$g_{\Delta}'(ff^*/m_{\pi}^2) = G'_{\Delta l=0}$$

T. K. et al, PTP. Suppl. **112**, 123(1993);
see also PTP **73**, 683 (1985)



$$g'_N \sim .6 \quad g'_{\Delta} \sim .2$$

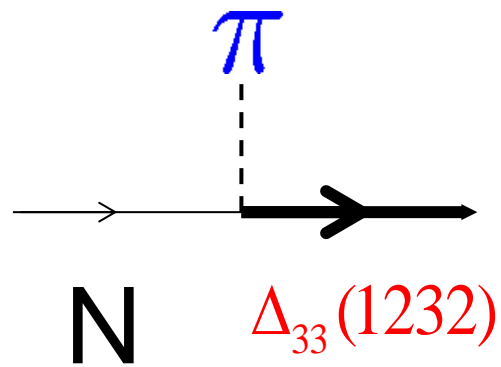
cf. T.Suzuki and H.Sakai, PLB455('99),25
based on T. Wakasa et al, PRC, ('97), 2909

See also later slides.

Gamow-Teller giant resonance;
K.Ikeda, S.Fujii and J.I. Fujita, PL .3('63),271

Realistic treatment of π con. With the isobar Δ and Short-range int. and correlations

Effective Force (Extended G0-force) on the basis of the SU(4) quark model



$$|\Phi_{ALS}\rangle \equiv \prod_{\alpha}^{(occ)} \tilde{N}_{\alpha}^{\dagger} |0\rangle$$

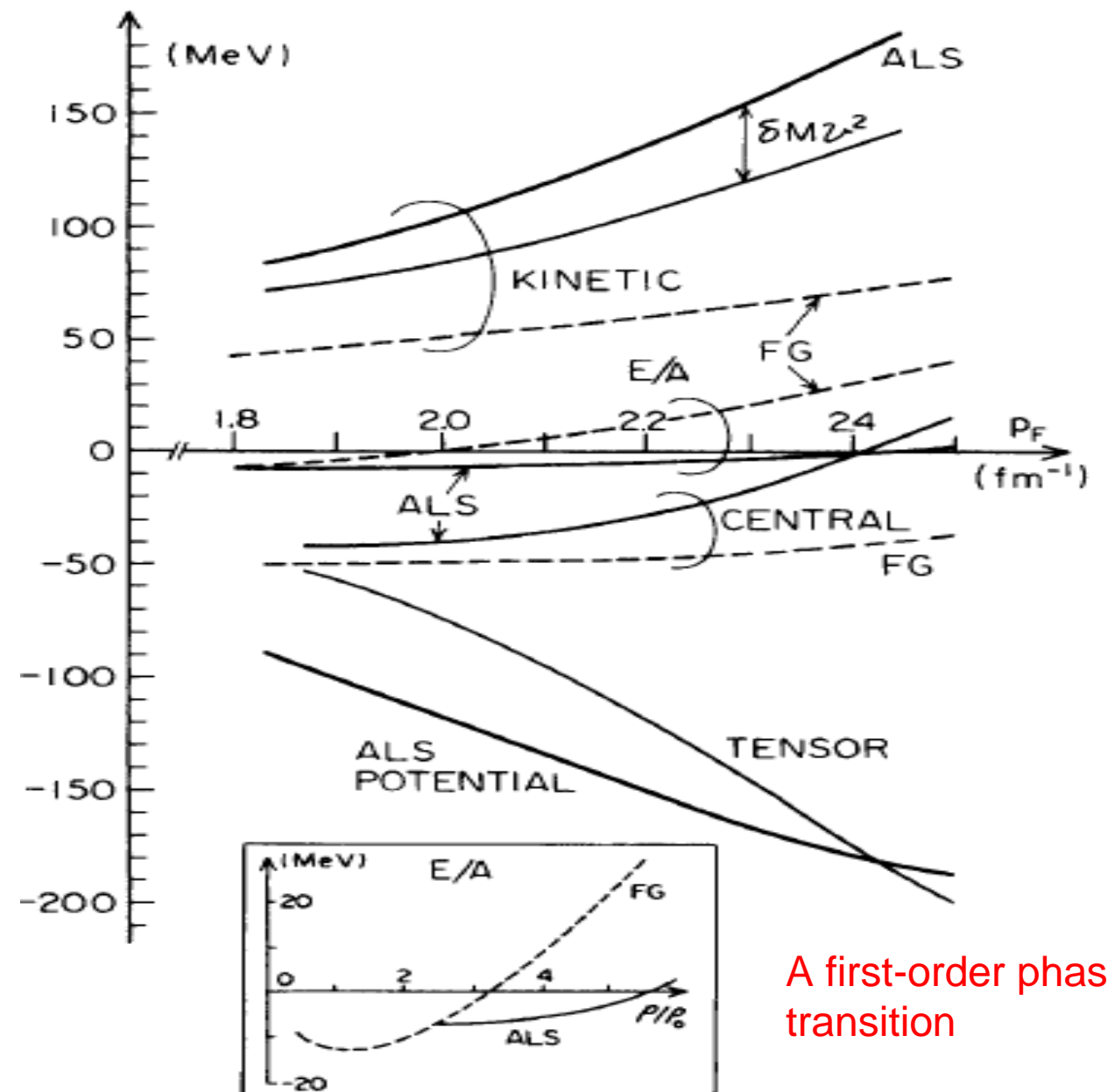
$$\tilde{N}_{\alpha} = u_{\alpha} N_{\alpha} - v_{\alpha} \Delta_{\alpha}$$

$$\tilde{\Delta}_{\alpha} = v_{\alpha} N_{\alpha} + u_{\alpha} \Delta_{\alpha}$$

$$\begin{pmatrix} u^2 \\ v^2 \end{pmatrix} = \frac{1}{2} \{ 1 \pm (\epsilon_{\Delta} - \epsilon_N) / \sqrt{(\epsilon_{\Delta} - \epsilon_N)^2 + 4C^2 V^2} \}$$

* D.W.L. Sprung and P.K. Banerjee, NPA168('71);
D.W.L. Sprung, NPA182('72), 97.

EOS for pion-condensed N=Z Matter



A first-order phase transition

Cf. D.N. Voskresensky,
Progress in Particle and Nuclear
Physics 130 (2023) 104030

5. 有限核での π 凝縮の前駆モード

準弾性散乱におけるスピン横モードの増大

T.N.Taddeucci et al., PRL 73, 3516 (1994)/T.W. et al., PRC 59, 3177 (1999)

q が大きな所での有効相互作用

- ・ スピン縦 V_L は引力
- ・ 特に $N\Delta$ チャンネル ($g'_{N\Delta} \sim 0.3$)

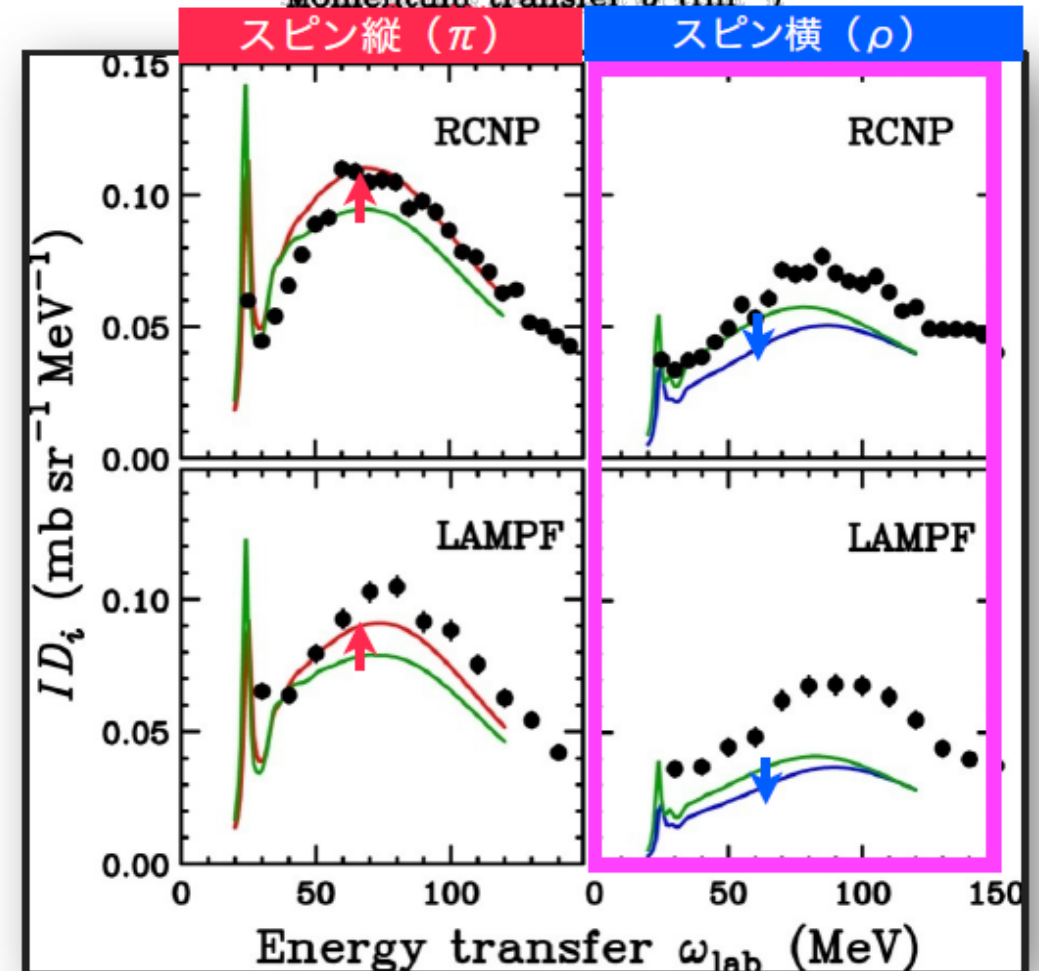
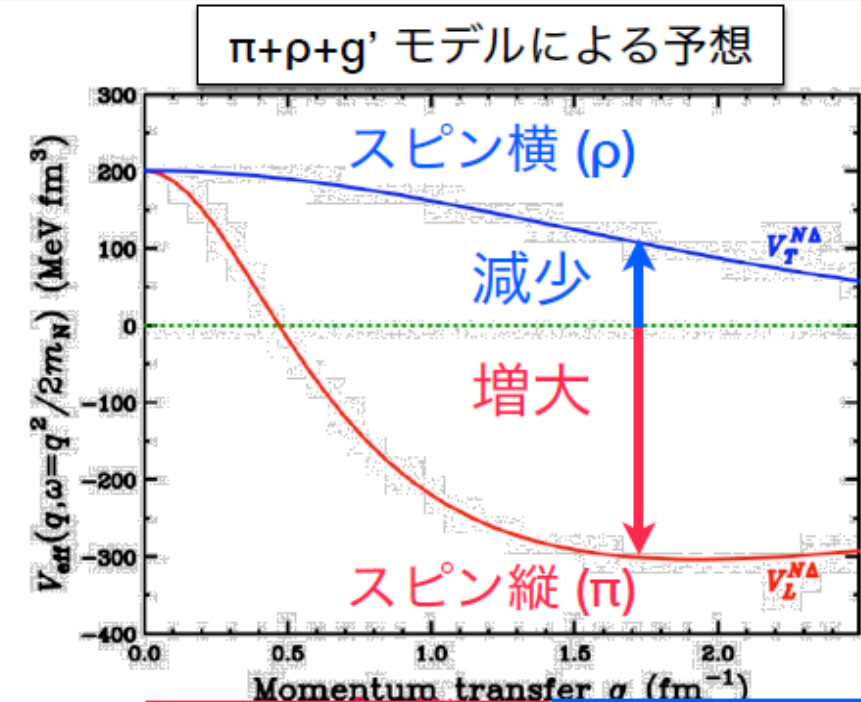
準弾性散乱 ($q \sim 1.7 \text{ fm}^{-1}$) への予想

- ・ スピン縦 (π) モード
- ・ **増大** ← 引力の π 中間子相関
- ・ スピン横 (ρ) モード
- ・ 減少 ← 斥力の ρ 中間子相関

RCNP/LAMPFのデータ ($q=1.7 \text{ fm}^{-1}$)

- ・ スピン縦モード
- ・ 実験値 = RPA > Free (相関なし)
- ・ **原子核中での π 中間子相関**
- ・ スピン横モード
- ・ 実験値 > Free > RPA

スピン横モードが増大 → モード分離は妥当？



Pionic enhancement in $^{12}\text{C}(p,n)^{12}\text{N}(1^+, T=1)$

Polarized cross section

- $ID_q = KN |E|^2 R_q$
- $ID_p = KN |F|^2 R_p$

▶ Separation of π - and ρ -mode with PTO is reliable

Comparison with Free

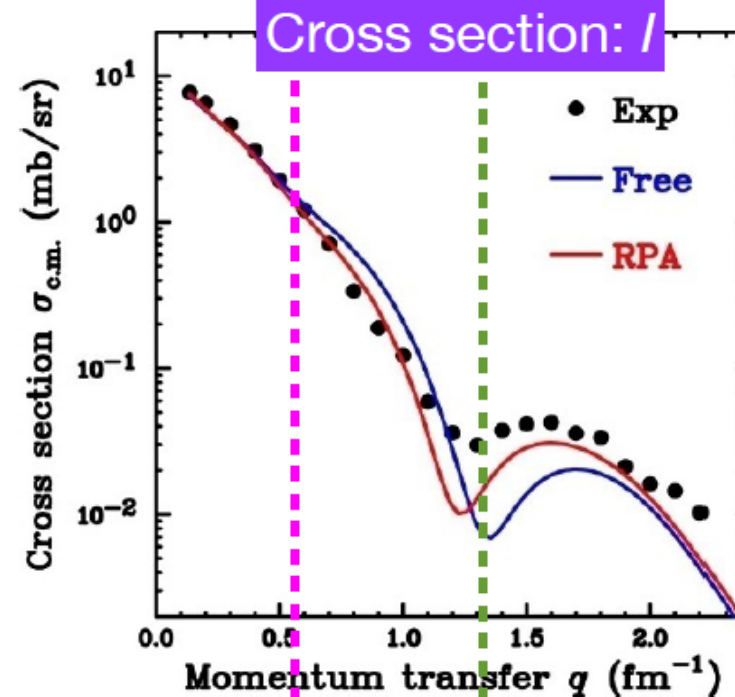
- Significant enhancement

Comparison with RPA

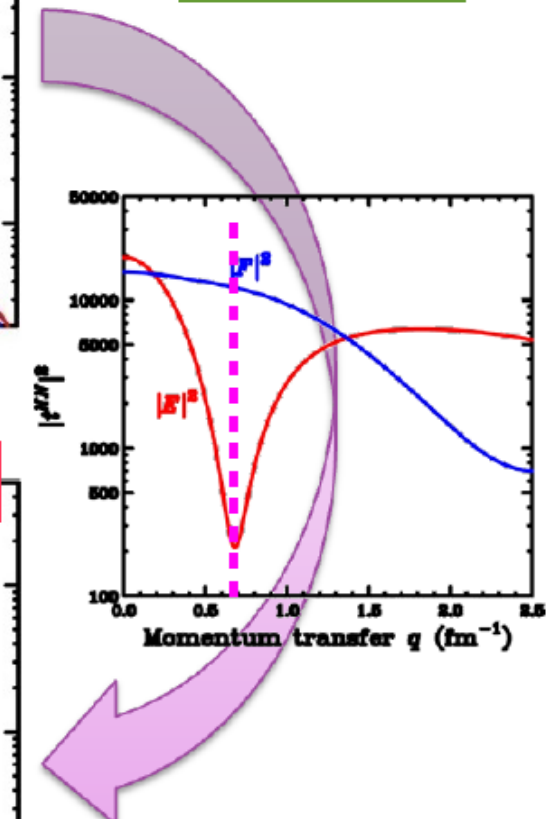
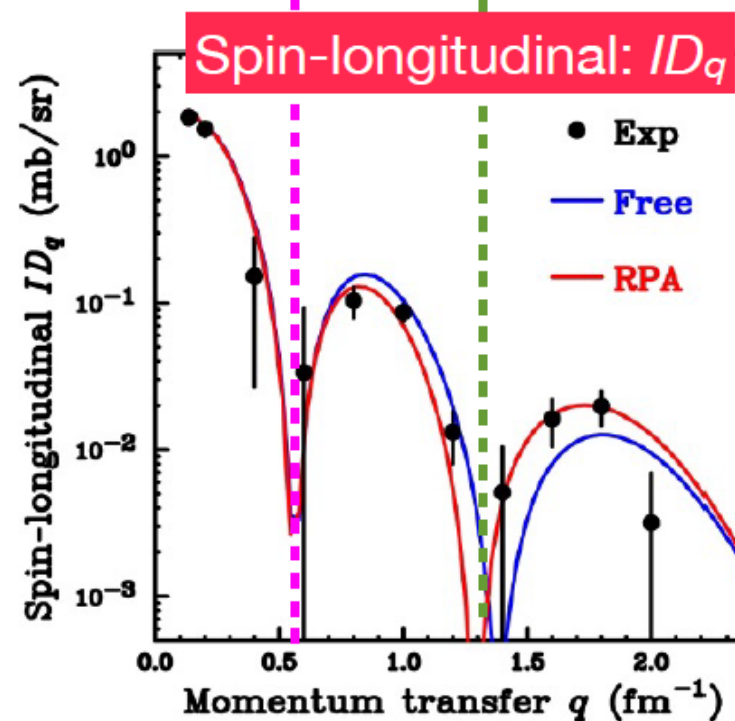
- g' are same as those in QES
 - Parameter free
- Predict the enhancement of the 3rd peak

▶ Our data support pionic enhancement

モード分離は妥当
→ スピン横モードが増大?



堂園昌伯君
博士論文
2010



M.Dozone, T.W., M.Ichimura et al., Phys. Rev. C 80, 024319 (2009).

6. OPEP+g' modelを用いたパイオンモードのソフト化と パイ中間子凝縮臨界条件の解析

Collective spin-isospin mode in the simple Steinwedel-Jensen model

with the use of 'the spin-isospin symmetry energy'

(T.K. PTP 65 (1981), 1098)

The spin-isospin symmetry energy as the restoring force for the (longitudinal) spin-isospin density wave: OPEP+g' model

$$\varepsilon_{\sigma\tau}(q) = \frac{\varepsilon_F}{3} \cdot \frac{1}{\Phi(q/2p_F)} + \frac{\rho}{2} \cdot (v_\pi(q) + g')$$

Lindhard fun.

Longitudinal part of the spin-isospin interaction

国広「クォーク・ハドロン物理学入門」
(サイエンス社)補遺

An extension of the Landa-Migdal th. to a finite momentum case.

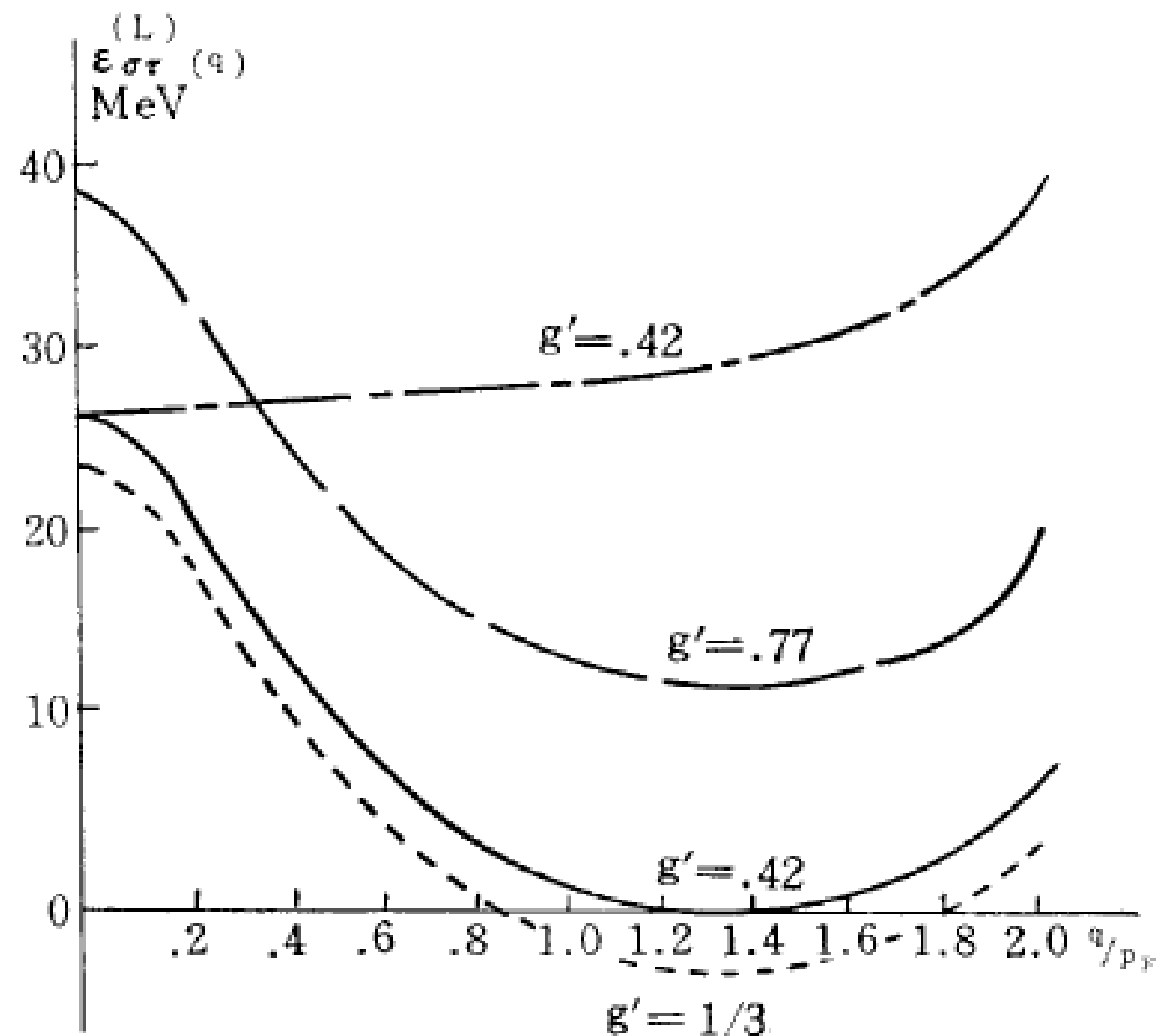
With use of the Steinwedel-Jensen model:
Cf. 野上茂吉郎「原子核」(裳華房, 1973年)

$$\omega_n^{(L)} = q_n^{(L)} \sqrt{2\varepsilon_{\sigma\tau}(q_n^{(L)})/M} \equiv \omega(q_n^{(L)})$$

$z_n^{(L)}$: n-th zero of the derivative of the spherical Bessel function

$$q_n^{(L)} = z_n^{(L)}/R.$$

$v_\pi(q)$: OPEPのフーリエ成分



Dispersion relation of the spin-isospin excitation

Softening at finite q !
and hence larger L
in finite nuclei.

T.K. PTP 65 (1981),
1098

Prog. Theor. Phys. Vol. 65, No. 3, March 1981, Progress Letters

Spin-Dependent Isovector Giant Resonances as a Possible Precursor of the Pion-Condensation in Finite Nuclei

Teiji KUNIHIRO

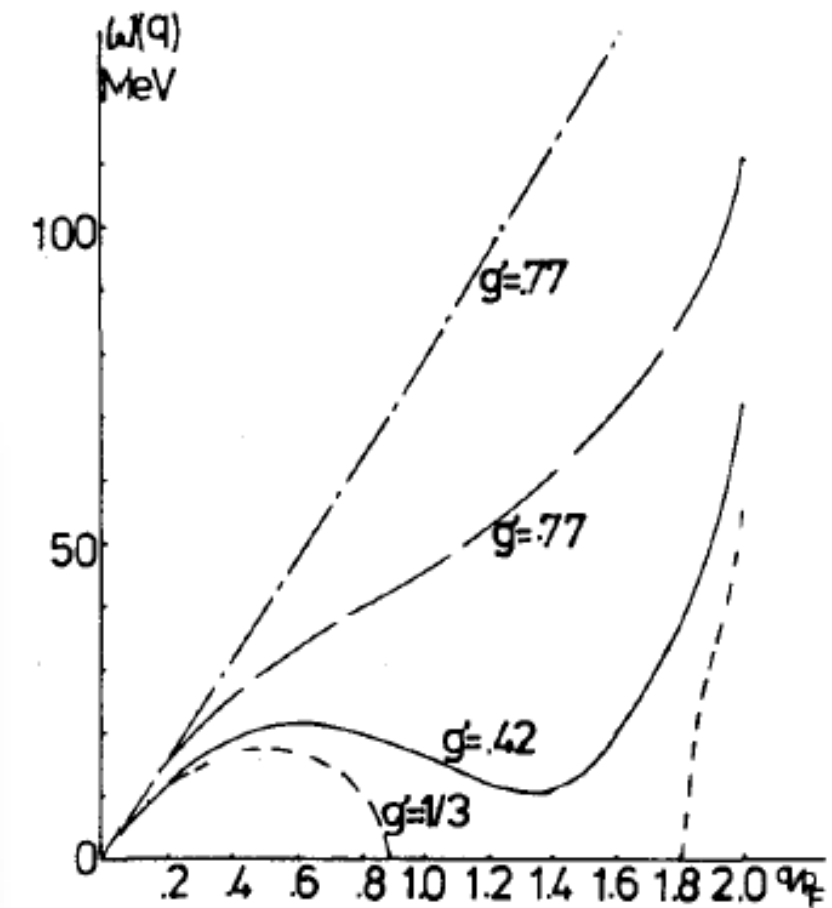
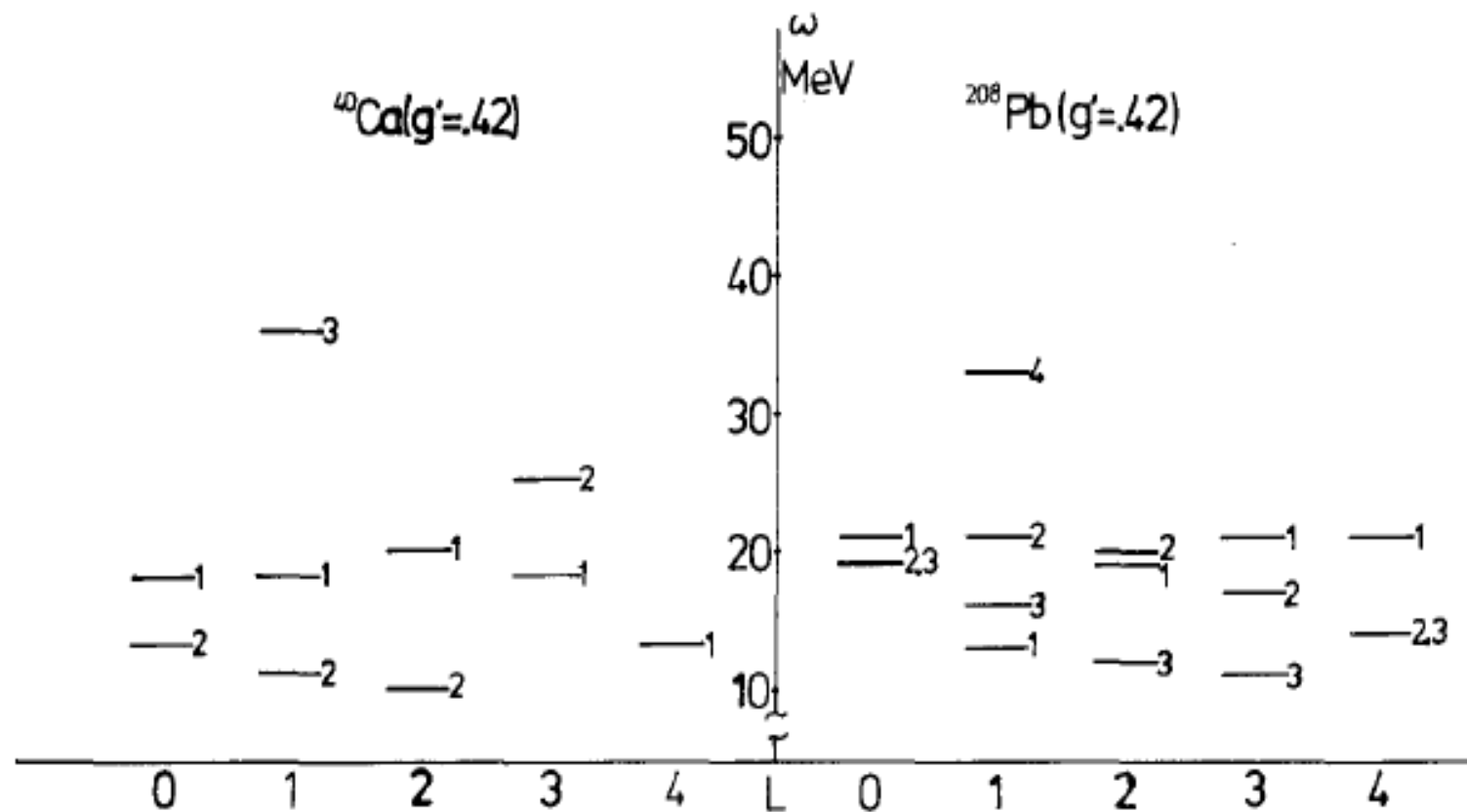


Fig. 3. The energy levels of the σ -mode with a multipolarity L and node n for ^{40}Ca and ^{208}Pb in the case $g'=0.42$. Numbers attached to the levels are n 's. Numbers on the bottom are L 's.

[補足] Jを指定したときのスピン-アイソスピン対称エネルギー

T.K., unpublished note, 1981

外場におよぶ1体 pot が付け加わる.

$$\lambda \hat{P} = \lambda \tau_z [a_+ \vec{F}_+(r) + a_- \vec{F}_-(r)] \cdot \vec{\sigma}$$

$$\vec{F}_\pm(r) = \int_{J\pm 1}(r) \vec{Y}_{J\pm 1}^0(\hat{r})$$

誘起される spin-isospin density

$$\langle \lambda \psi^\dagger \vec{\sigma} \tau_z \psi \rangle = \lambda [S_+ \vec{F}_+(r) + S_- \vec{F}_-(r)]$$

$$\begin{pmatrix} S_+ \\ S_- \end{pmatrix} = -\hat{R} \begin{pmatrix} a_+ \\ a_- \end{pmatrix}$$

response function

$$1/(q + q_0)$$

One particle-hole loop

Def. $\hat{\Sigma} = \hat{R}^{-1} \hat{\Sigma}$: symmetric energy tensor

系の Energy の増分

$$\delta E = \frac{\lambda^2}{2} (S_+, S_-) \hat{\Sigma} \begin{pmatrix} S_+ \\ S_- \end{pmatrix}$$

相互作用として π -ex と p -ex をとると、with. $L=L$.

$$\hat{\Sigma} = \begin{pmatrix} v_1 & v_3 \\ v_3 & v_2 \end{pmatrix}$$

$$v_1 = \frac{1}{N_1 \Xi} + \frac{1}{2J+1} \{ (J+1) \mathcal{V}_2^{(m)} + J \mathcal{V}_2^{(p)} \} + g'$$

$$v_2 = \frac{1}{N_1 \Xi} + \frac{1}{2J+1} \{ J (\mathcal{V}_2^{(m)} + g') + (J+1) (\mathcal{V}_2^{(p)} + g') \}$$

$$v_3 = \frac{\sqrt{J(J+1)}}{2J+1} (\mathcal{V}_2^{(m)} - \mathcal{V}_2^{(p)})$$

変換

$$V_1 = \frac{1}{2J+1} \{ (J+1) \varepsilon^{(m)} + J \varepsilon^{(p)} \}$$

$$\varepsilon^{(d)} = \frac{1}{N_p \bar{\varepsilon}} + g' + \nabla g^{(d)}$$

$$V_2 = \frac{1}{2J+1} \{ J \varepsilon^{(m)} + (J+1) \varepsilon^{(p)} \}$$

$$V_3 = \frac{\sqrt{J(J+1)}}{2J+1} (\varepsilon^{(m)} - \varepsilon^{(p)})$$

但し

$$N_p = \frac{2m^2 \beta}{\pi^2}$$

$\bar{\varepsilon} \equiv \bar{\varepsilon}(\beta/2\beta_p)$: Lindhard 関数

$$= \frac{1}{2} + \frac{1-x^2}{4x} \ln \left| \frac{1+x}{1-x} \right|$$

$$\nabla g^{(d)} = -\hat{f}_\alpha^2 \beta^2 / (m_\alpha^2 + \beta^2)$$

$\hat{\varepsilon}$ の固有値は

$$\varepsilon = \varepsilon_\pi, \varepsilon_\rho$$

固有ベクトル (a_+, a_-) に対応する外場

$$\pi \quad \lambda F \propto \vec{\nabla} (\hat{f}_J(\beta r) Y_0(\hat{n})) \cdot \vec{\sigma}$$

縦波モード

$$\rho \quad \lambda F \propto \vec{\nabla} \times (\hat{f}_J(\beta r) \vec{Y}_J^0(\hat{n})) \cdot \vec{\sigma}$$

横波モード

T.K., unpublished note, 1981

7. G-0FORCEに基づいた π 中間子モード/縦波スピン-アイソスピンモードの解析

菊池勇太,TK, 2014年日本物理学会第69回年次大会春季大会3/27~3/30@東海大学,

Unpublished.

G-0 forceを用いて中性パイ中間子凝縮の有無を調べる。

→ パイ中間子モードの媒質中におけるソフト化をみる。

→ 縦波Spin-isospin密度相関関数をRPA近似のもとで計算する

○

Decomposition of the spin/spin and tensor interaction into the Longitudinal and Transverse spin interactions

When omitting the LS force, the G-0 force is given as

$$V_{1,2} = V_{1,2}^C + V_{1,2}^T$$

$$V_{1,2}^C = V_1 + V_\sigma \boldsymbol{\sigma}_1 \cdot \boldsymbol{\sigma}_2 + V_\tau \vec{\tau}_1 \cdot \vec{\tau}_2 + V_{\sigma\tau} (\boldsymbol{\sigma}_1 \cdot \boldsymbol{\sigma}_2) (\vec{\tau}_1 \cdot \vec{\tau}_2)$$

$$V_{1,2}^T = V_1^T S_{12}(\hat{\mathbf{r}}_{12}) + V_\tau^T \vec{\tau}_1 \cdot \vec{\tau}_2 S_{12}(\hat{\mathbf{r}}_{12})$$

$$S_{12}(\hat{\mathbf{r}}) = 3(\boldsymbol{\sigma}_1 \cdot \hat{\mathbf{r}})(\boldsymbol{\sigma}_2 \cdot \hat{\mathbf{r}}) - \boldsymbol{\sigma}_1 \cdot \boldsymbol{\sigma}_2$$

Noting that

$$\boldsymbol{\sigma}_1 \cdot \mathbf{q} \boldsymbol{\sigma}_2 \cdot \mathbf{q} = (\boldsymbol{\sigma}_1 \cdot \mathbf{q} \boldsymbol{\sigma}_2 \cdot \mathbf{q} - \frac{1}{3} q^2 \boldsymbol{\sigma}_1 \cdot \boldsymbol{\sigma}_2) + \frac{1}{3} q^2 \boldsymbol{\sigma}_1 \cdot \boldsymbol{\sigma}_2 \quad ; \text{Longitudinal/pionic}$$

$$(\boldsymbol{\sigma}_1 \times \mathbf{q}) \cdot (\boldsymbol{\sigma}_2 \times \mathbf{q}) = -S_{12}(\mathbf{q}) + \frac{2}{3} \boldsymbol{\sigma}_1 \cdot \boldsymbol{\sigma}_2 q^2 \quad \text{central} \quad ; \text{Transverse}/\rho\text{-mesonic in tensor coupling}$$

the spin-isospin part is rewritten in terms of the longitudinal/pion and transverse/ ρ meson parts:

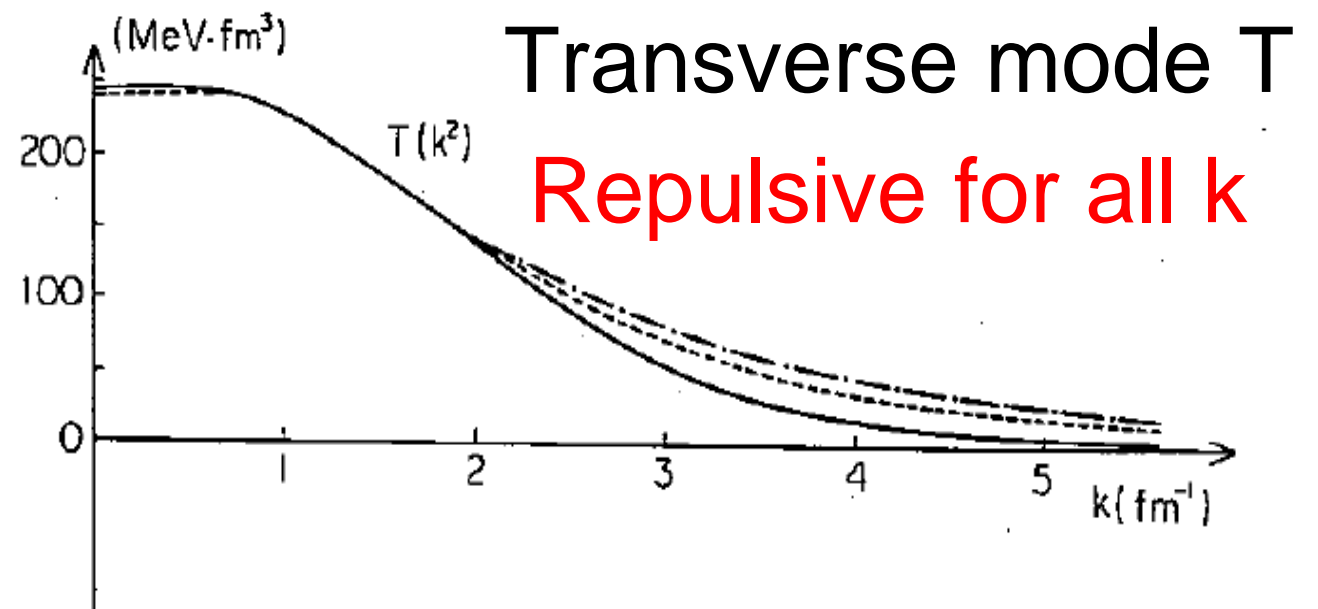
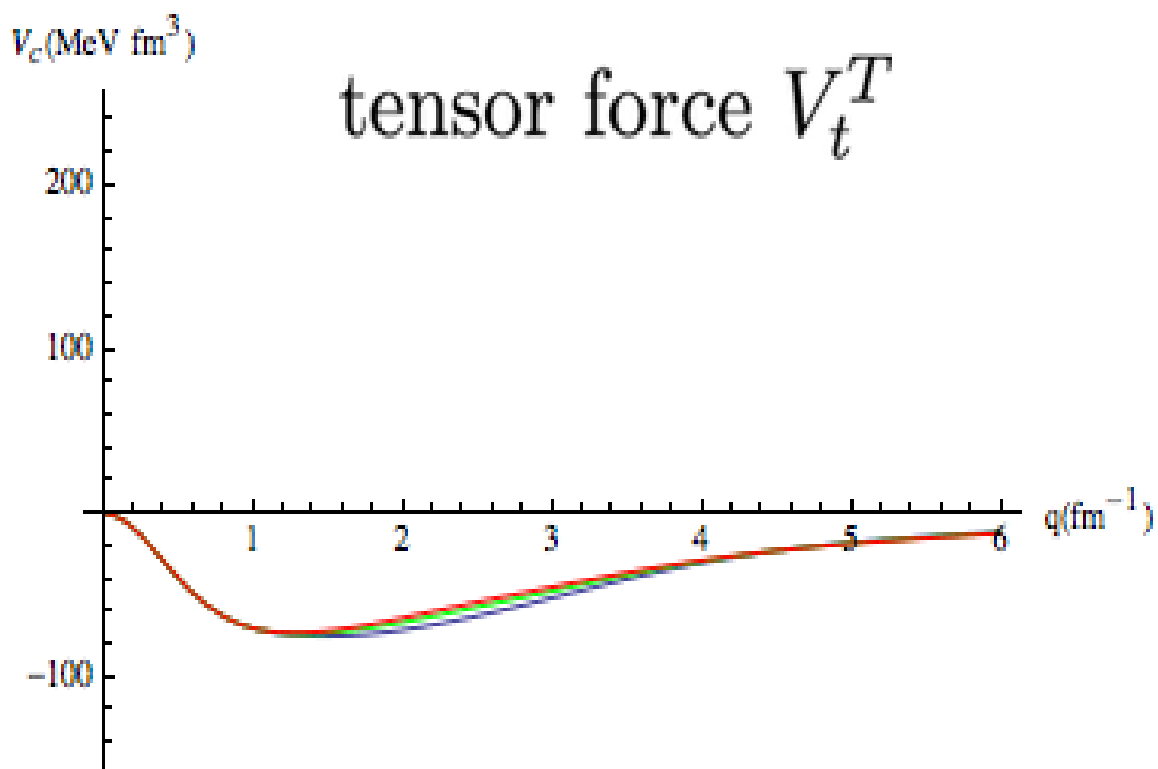
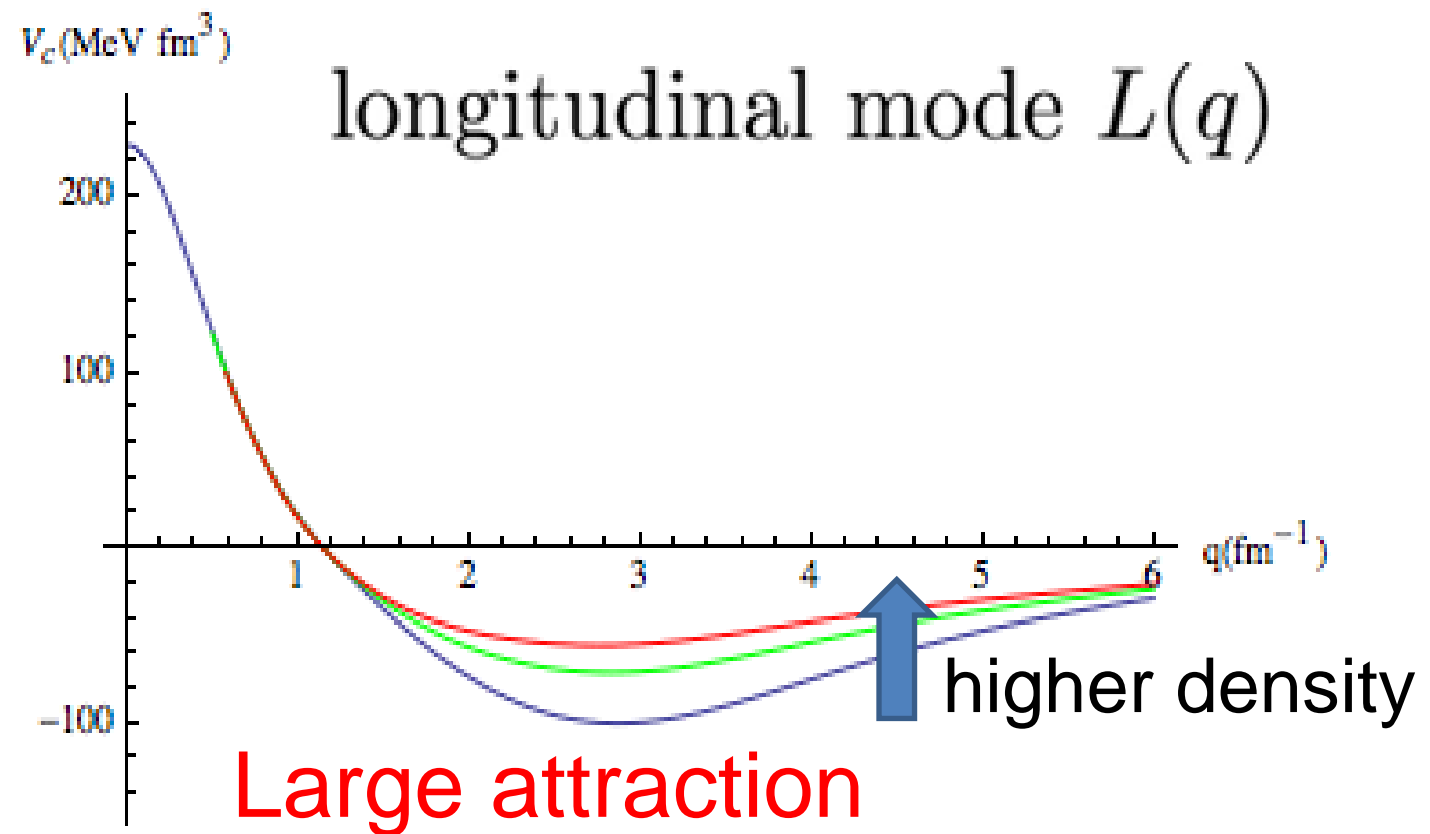
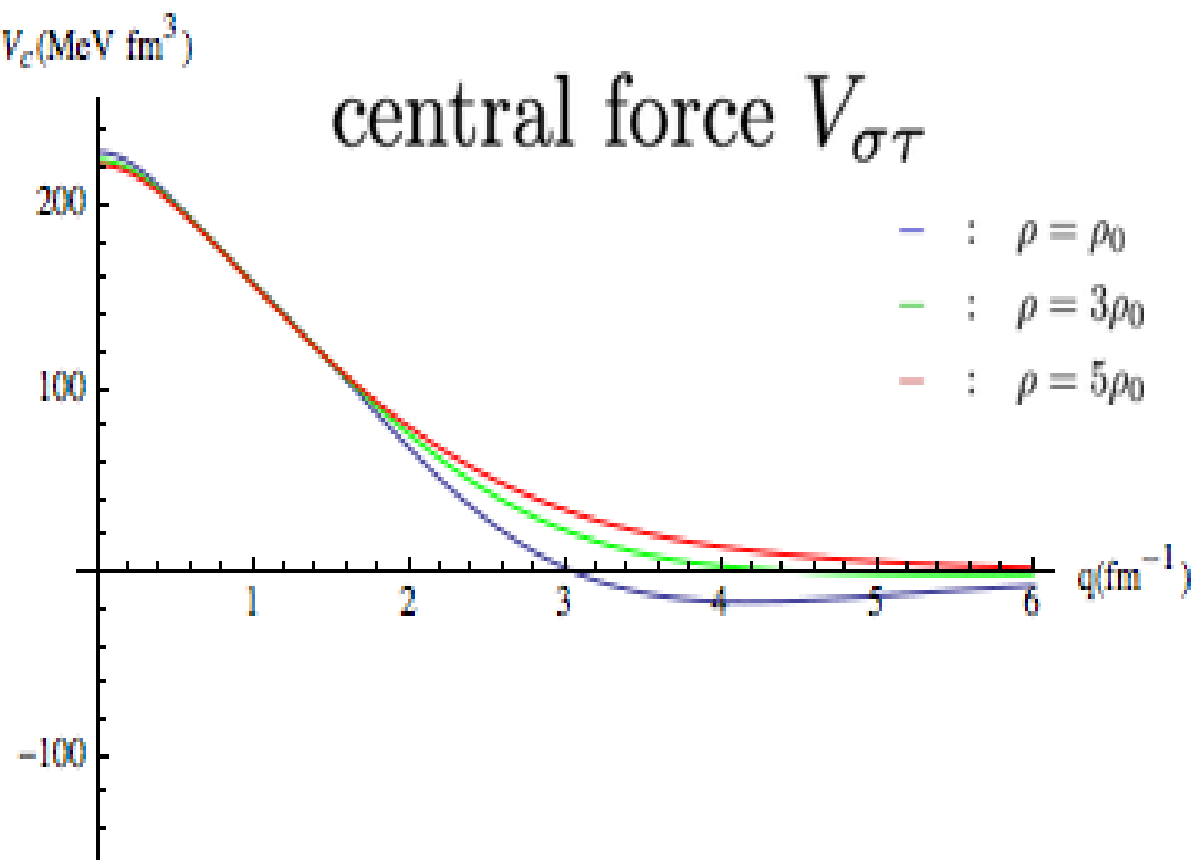
$$\vec{\tau}_1 \cdot \vec{\tau}_2 \int \frac{d^3k}{(2\pi)^3} e^{i\mathbf{k} \cdot \mathbf{r}_{12}} \left[(\boldsymbol{\sigma}_1 \cdot \hat{\mathbf{k}})(\boldsymbol{\sigma}_2 \cdot \hat{\mathbf{k}}) L(k) + (\boldsymbol{\sigma}_1 \times \hat{\mathbf{k}}) \cdot (\boldsymbol{\sigma}_2 \times \hat{\mathbf{k}}) T(k) \right]$$

longitudinal

The pion channel

transverse

The rho-meson channel

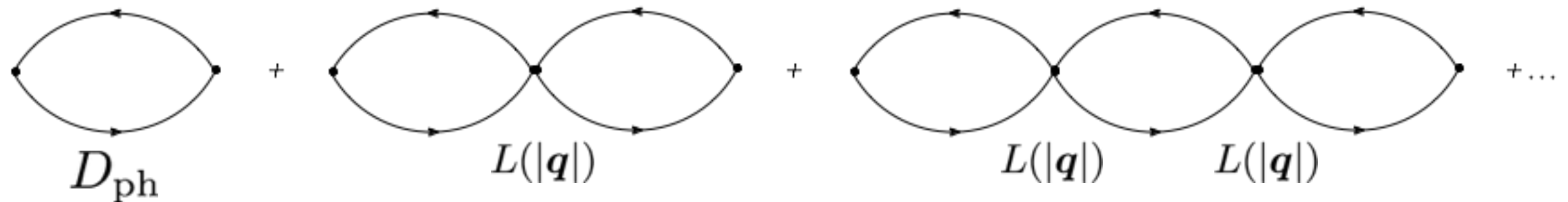


(density-dependent) attraction in the large momentum transfer region due to the tensor force.

G-0FORCEに基づいた π 中間子モード/縦波スピン-アイソスピンモードの解析

a. Δ -hole励起を含まない場合

菊池勇太, TK, 2014年日本物理学会第69回年次大会春季大会3/27~3/30@東海大学,
 Unpublished.



$$\longleftrightarrow D_{\text{RPA}}(\omega, \mathbf{q}) = \frac{D_{\text{ph}}(\omega, \mathbf{q})}{1 - L(|\mathbf{q}|)D_{\text{ph}}(\omega, \mathbf{q})}$$

$$D_{\text{ph}}(\omega, \mathbf{q}) = -4i \int \frac{d^4 p}{(2\pi)^4} G_0(p_0 + \omega, \mathbf{p} + \mathbf{q}) G_0(p_0, \mathbf{p})$$

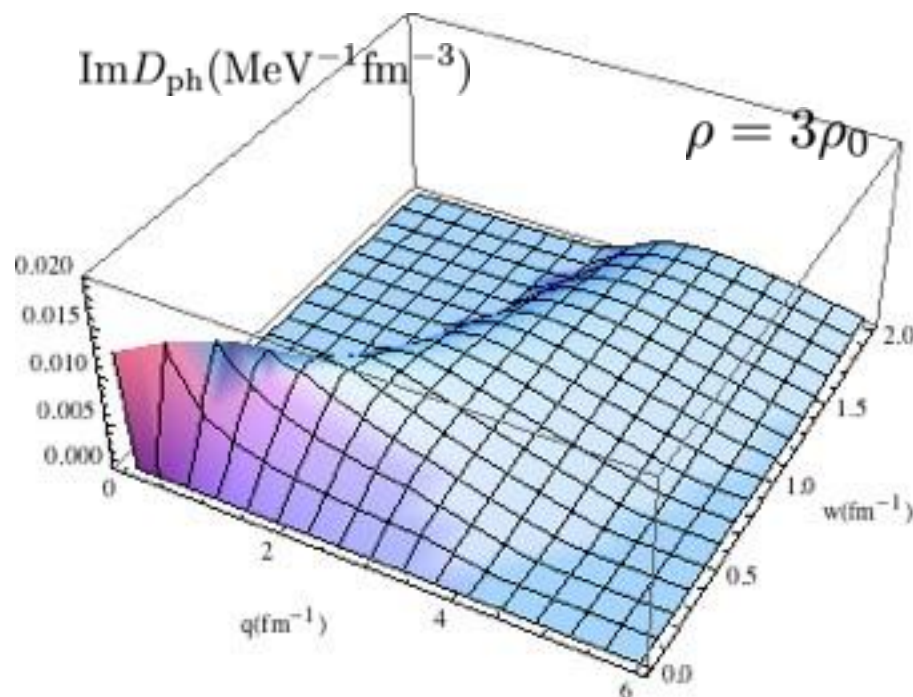
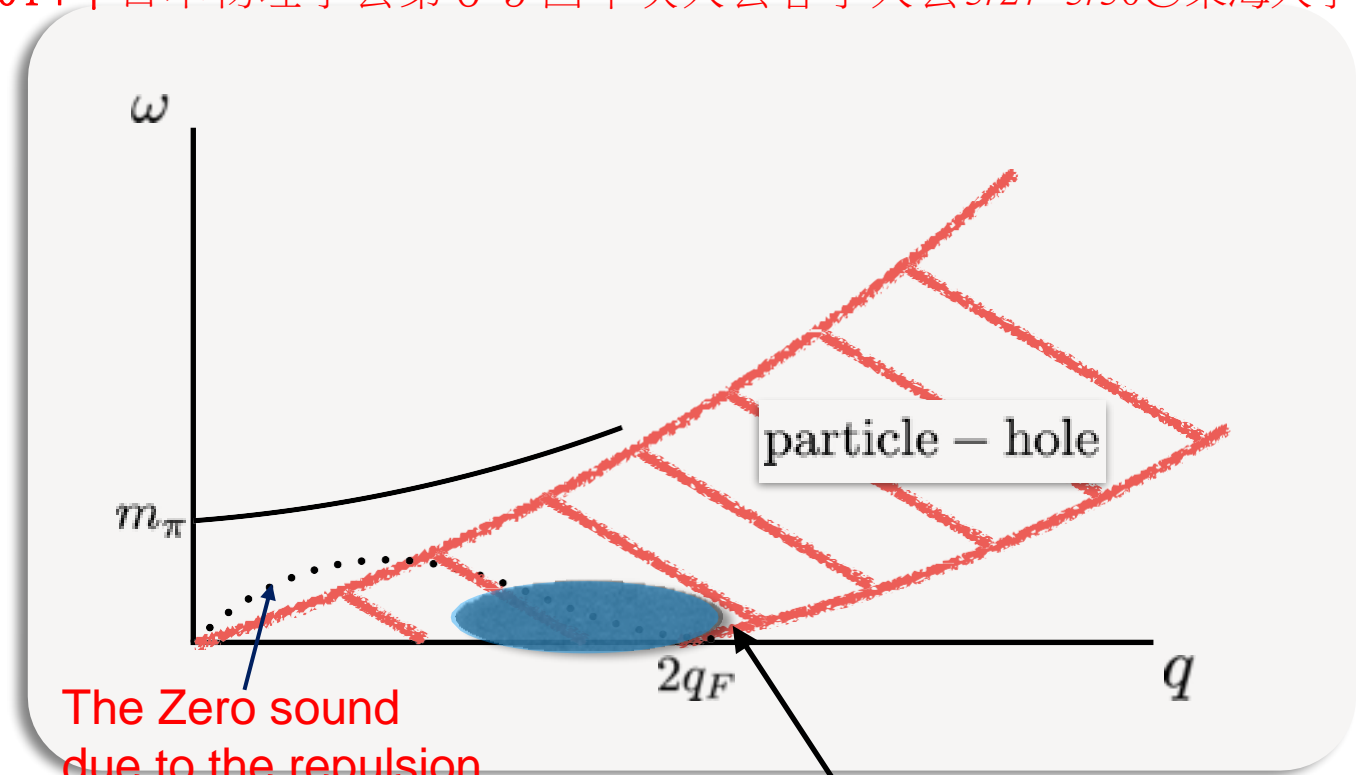
G-0 FORCEに基づいた解析と結果

菊池勇太,TK, 2014年日本物理学会第69回年次大会春季大会3/27~3/30@東海大学,

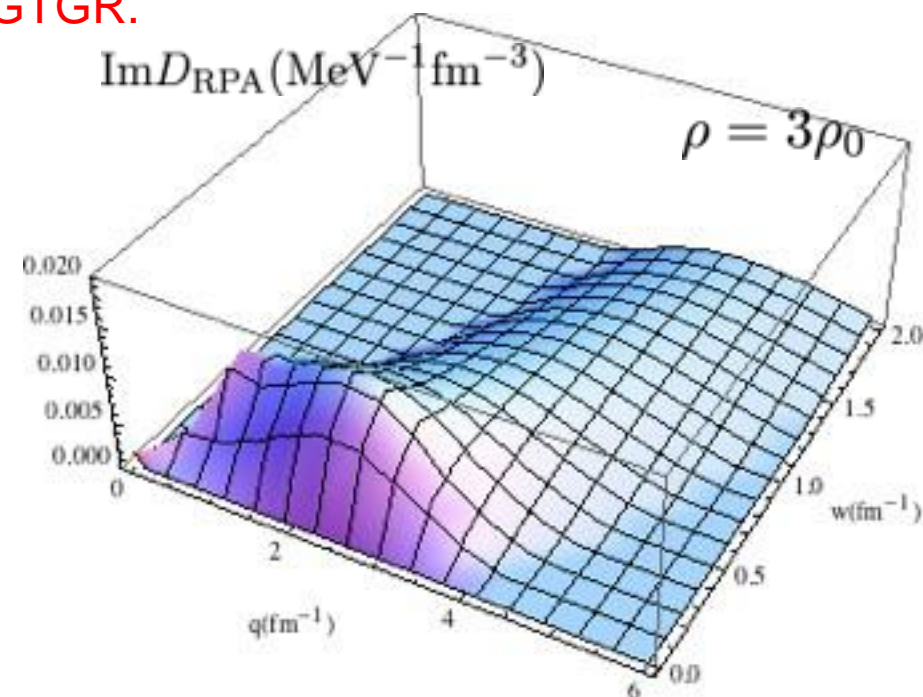
予想される分散関係 Unpublished.

パイ中間子モードが媒質効果により、ソフト化すると考えられる。

計算結果



free fermion



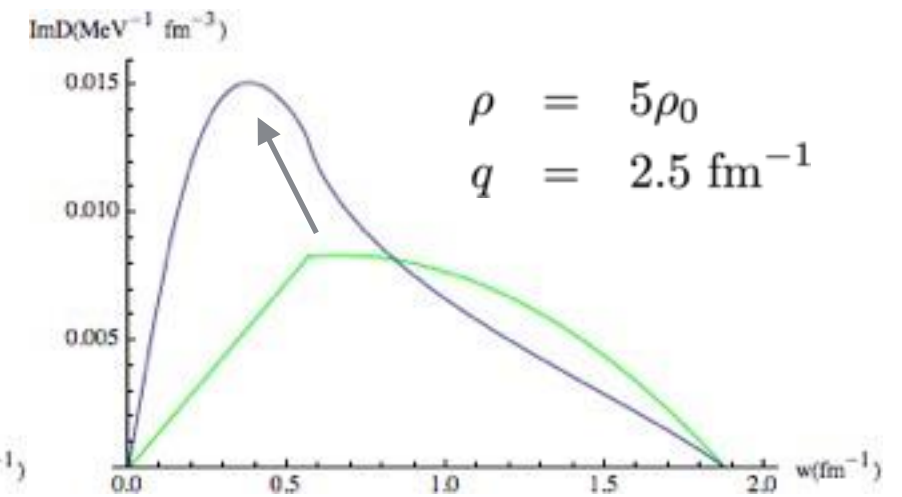
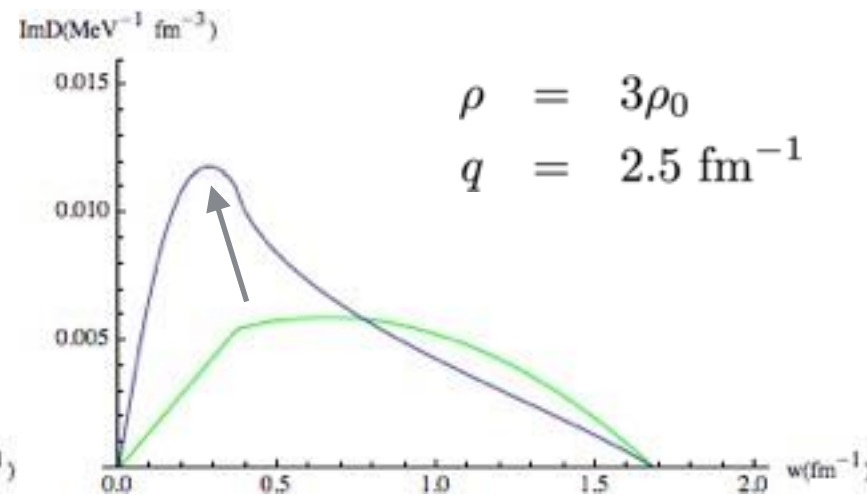
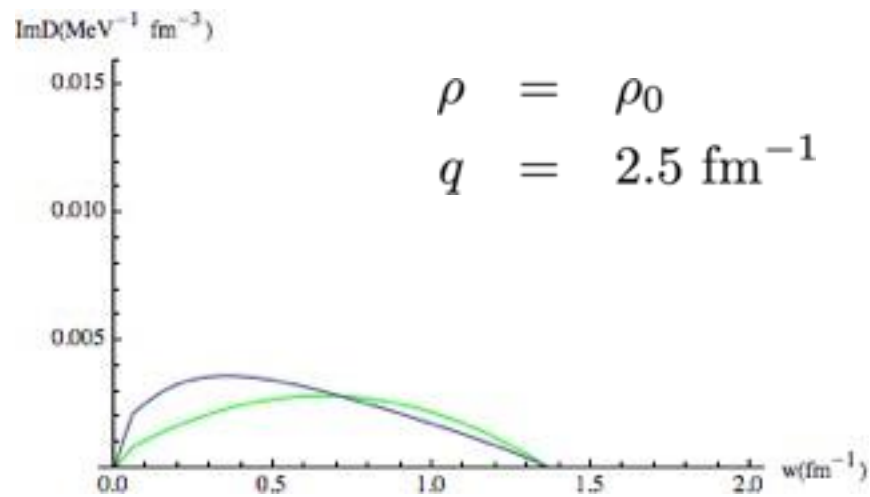
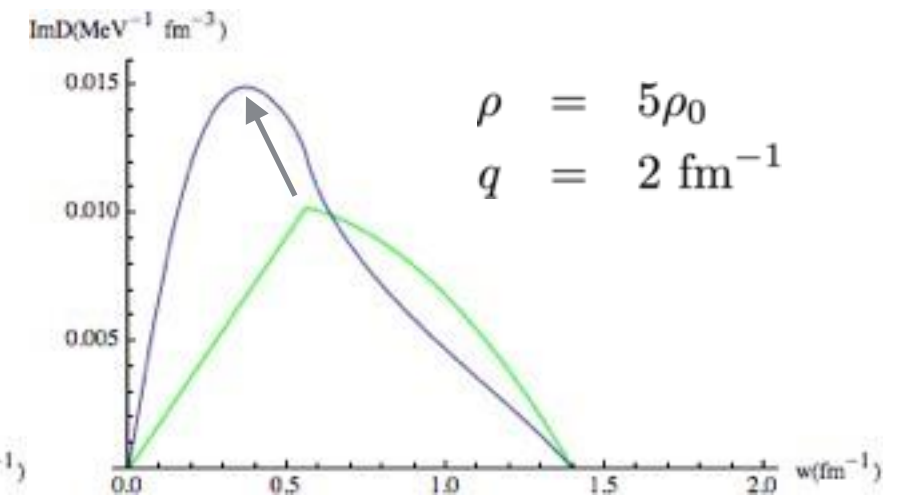
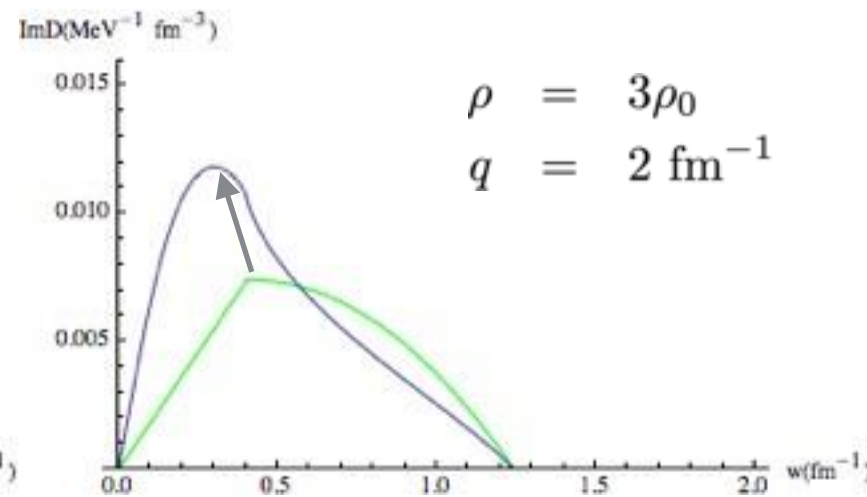
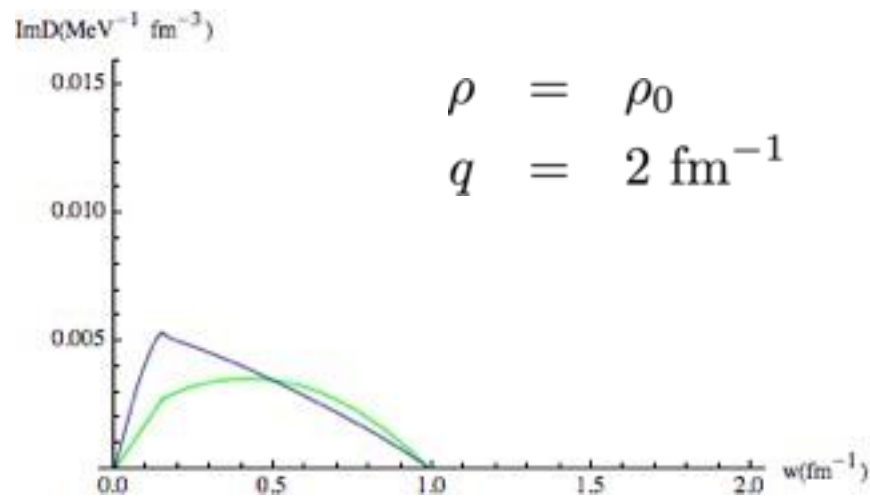
RPA(particle-hole)

G-0 FORCEに基づいた解析と結果

菊池勇太, TK, 2014年日本物理学会第69回年次大会春季大会3/27~3/30@東海大学,

計算結果：パイ中間子モードの強度関数

(— : $\text{Im}D_{\text{ph}}(\text{free fermion})$, — : $\text{Im}D_{\text{RPA}}$)

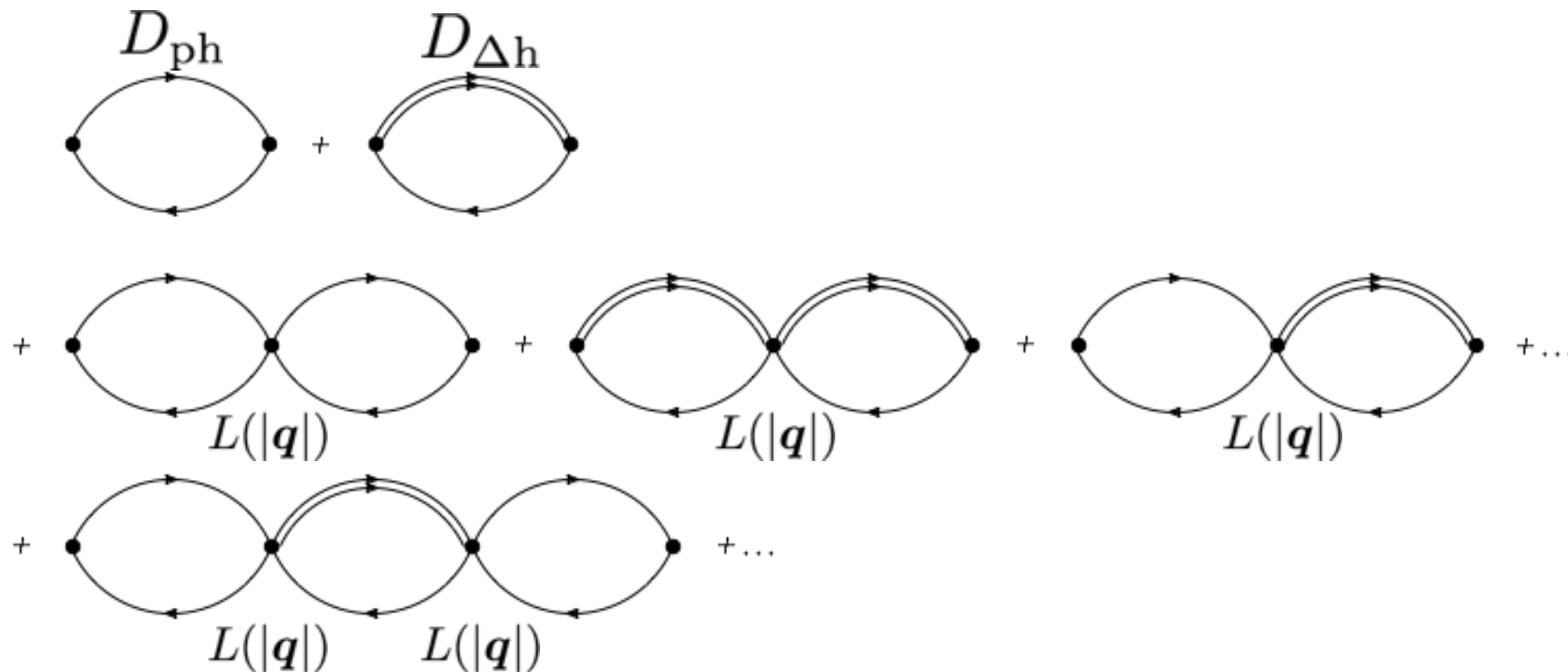


- 核子間相互作用によりパイ中間子モードがソフト化している。
- 密度が高いほど、ソフトモードの強度が大きくなっている。パイ中間子凝縮はみられない。

Δ -hole励起を含めた解析と結果

菊池勇太, TK, 2014年日本物理学会第69回年次大会春季大会3/27~3/30@東海大学,

一般化されたG-0 forceを用いて、^{Unpublished} Δ -hole励起を考慮したRPA計算を行う。

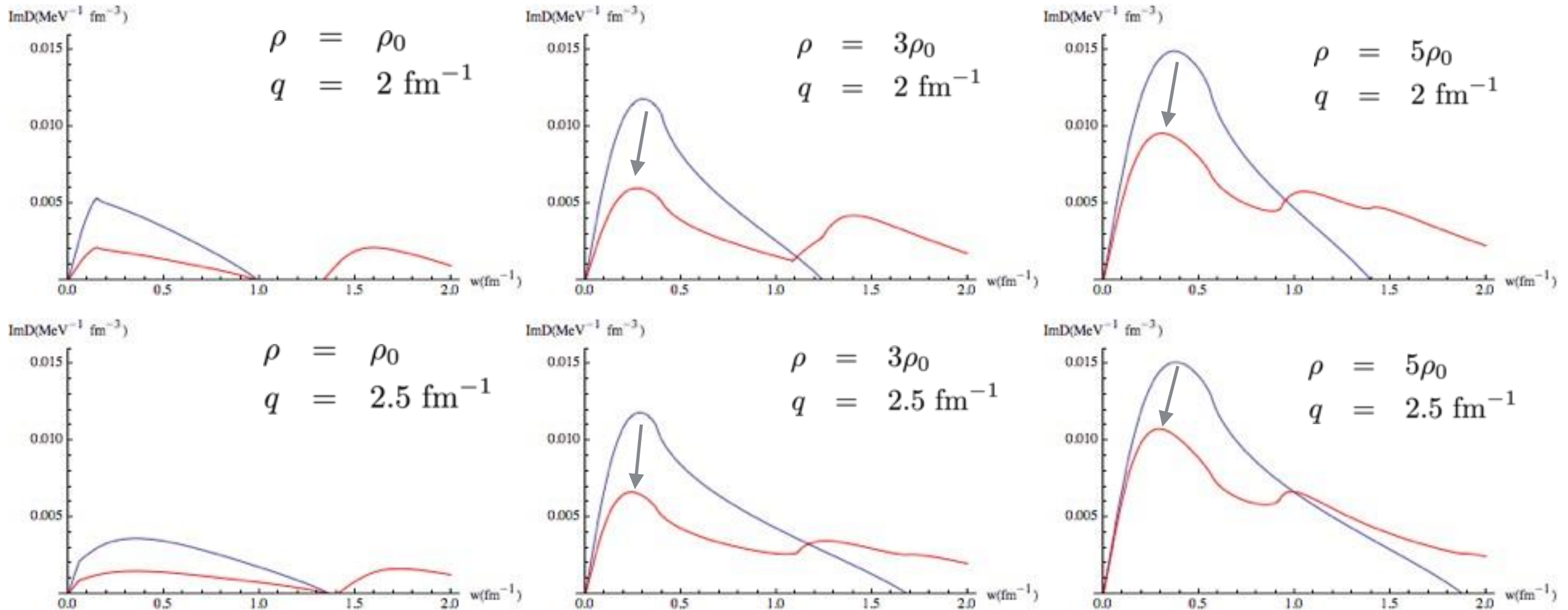


$$\longleftrightarrow D_{\text{RPA},\Delta}(\omega, \mathbf{q}) = \frac{D_{\text{ph}}(\omega, \mathbf{q}) + D_{\Delta\text{h}}(\omega, \mathbf{q})}{1 - L(|\mathbf{q}|) [D_{\text{ph}}(\omega, \mathbf{q}) + D_{\Delta\text{h}}(\omega, \mathbf{q})]}$$

$$D_{\Delta\text{h}}(\omega, \mathbf{q}) = -\frac{16}{9} i\lambda_{\sigma\tau}^2 \int \frac{d^4p}{(2\pi)^4} G_{\Delta}(p_0 + \omega, \mathbf{p} + \mathbf{q}) G_0(p_0, \mathbf{p})$$

計算結果：パイ中間子モードの強度関数(preliminary)

(— : $\text{Im}D_{\text{RPA}}$, - - : $\text{Im}D_{\text{RPA},\Delta}$ (including Δ))



- Δ を取り込むことでパイ中間子モードがさらにソフト化している。
- しかし、パイ中間子凝縮はみられない。一次相転移であることと整合的かも知れない。

8.まとめと展望

まとめ

- Π 凝縮に関係してSpin-isospin modeの可能なソフト化を調べるには縦波と横波モードに分解することが肝要
- 有効核力G-0forceはReid soft coreの結果を再現し、 g' などのspi-isospinに関係した物理量も他の解析結果と整合的である。
- G-0 forceを用いて spin-isospin相関関数をRPA近似のもと計算した→パイ中間子モードのソフト化はみられたが、パイ中間子凝縮に繋がる不安定化は見えなかった。
 Δ の寄与を取り込むために、一般化されたG-0 forceを用いて同様の計算を行った→さらにソフト化したが同じく不安定化は見えなかった。
- 最終的な結論を得るには、応答関数のポール探索とその密度変化の解析などを行う必要がある。
また、正常状態もフェルミガス近似ではなくH-F計算などによる取り扱いが必要である。

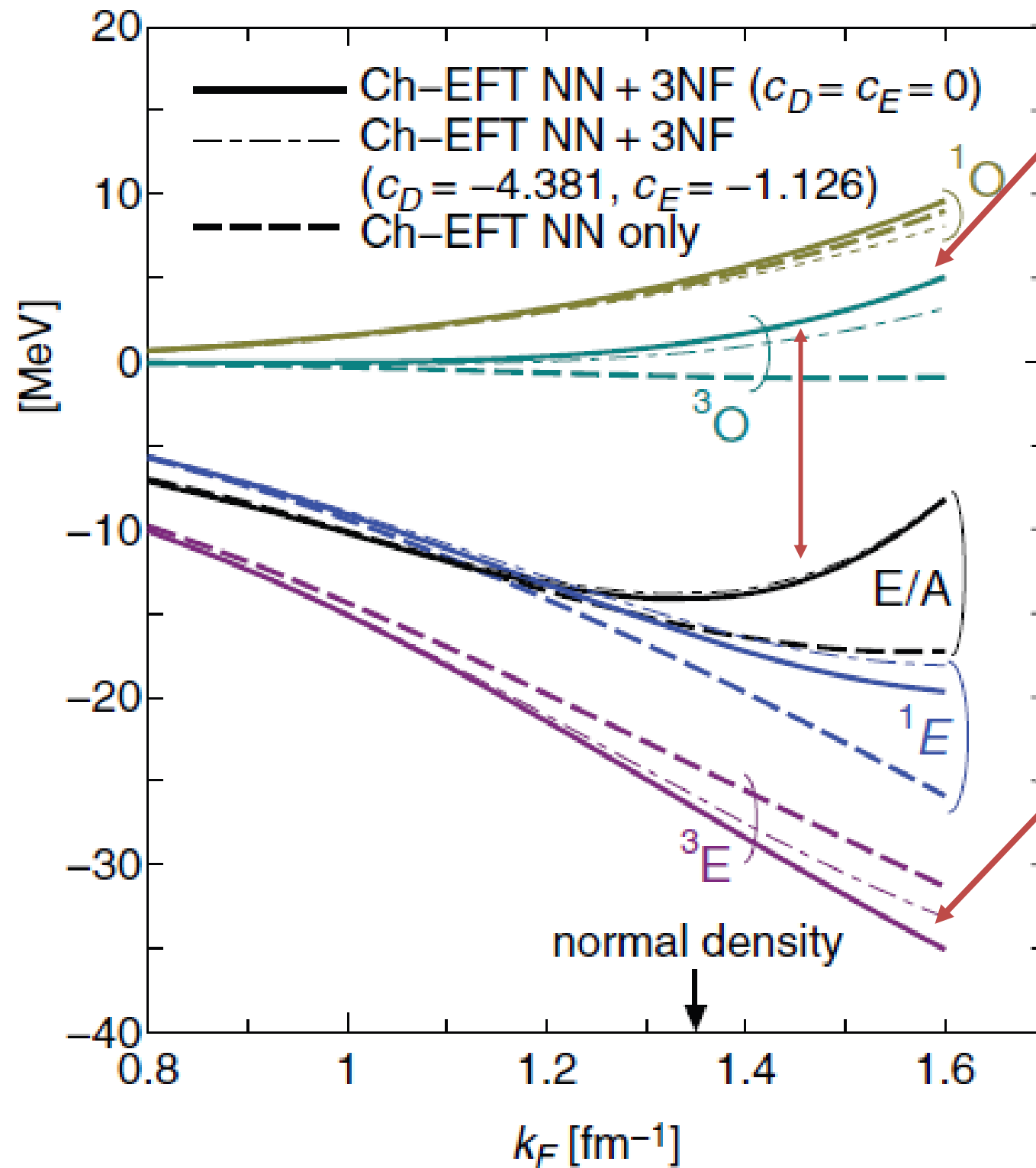
今後の課題

- Normal phaseは自由Fermi気体として扱ったが、Hartree-Fock計算を用いて、より現実的な状態を使った計算を行う。
複素エネルギー平面上でpoleが $w=0$ に近づいていく様子を確認する。
カイラル摂動論に基づいた、より系統的な有効核力を用いて解析を行う:
Chiral NFによる核物質計算から有効相互作用を導出しガウス関数の重ね合わせでパラメトライズする:
M. Kohono (学会@北大2024)
 - 中性子星への応用では荷電 π^0 中間子凝縮がより重要。現実的有効核力を用いた π^0 凝縮の計算が望まれる。

補遺

Caveat: Results by Chiral nuclear force with three-body forces:

M. Kohono, PTEP 2015,,123D02



Different saturation mechanism; The repulsion in the odd states at high densities plays an Essential role for giving rise to the saturation.

No saturation in the 3E due to the tensor force Is not seen. -> Strong tensor!

Δ -hole励起を含めた解析と結果

$\Delta(1232)$ を非相対論的なRarita-Schwinger場として扱う。 Δ -hole propagationの寄与も取り込むためにG-0 forceを拡張する。

Kunihiro, Takatsuka, and Tamagaki PTP Vol.73 No.3(1985)

$$V_{\text{ph-ph}} = \vec{\tau}_1 \cdot \vec{\tau}_2 \int \frac{d^3k}{(2\pi)^3} e^{i\mathbf{k}\cdot\mathbf{r}} L(|\mathbf{k}|) (\boldsymbol{\sigma}_1 \cdot \hat{\mathbf{k}}) (\boldsymbol{\sigma}_2 \cdot \hat{\mathbf{k}})$$

$$V_{\Delta\text{h-ph}} = \lambda_{\sigma\tau} \vec{T}_1^\dagger \cdot \vec{\tau}_2 \int \frac{d^3k}{(2\pi)^3} e^{i\mathbf{k}\cdot\mathbf{r}} L(|\mathbf{k}|) (\mathbf{S}_1^\dagger \cdot \hat{\mathbf{k}}) (\boldsymbol{\sigma}_2 \cdot \hat{\mathbf{k}})$$

$$V_{\Delta\text{h-}\Delta\text{h}} = \lambda_{\sigma\tau}^2 \vec{T}_1^\dagger \cdot \vec{T}_2 \int \frac{d^3k}{(2\pi)^3} e^{i\mathbf{k}\cdot\mathbf{r}} L(|\mathbf{k}|) (\mathbf{S}_1^\dagger \cdot \hat{\mathbf{k}}) (\mathbf{S}_2 \cdot \hat{\mathbf{k}})$$

$\mathbf{S}(\mathbf{T})$: spin (isospin) transition matrix

$\lambda_{\sigma\tau}$ はSU(4)quark modelを用いて決められている。

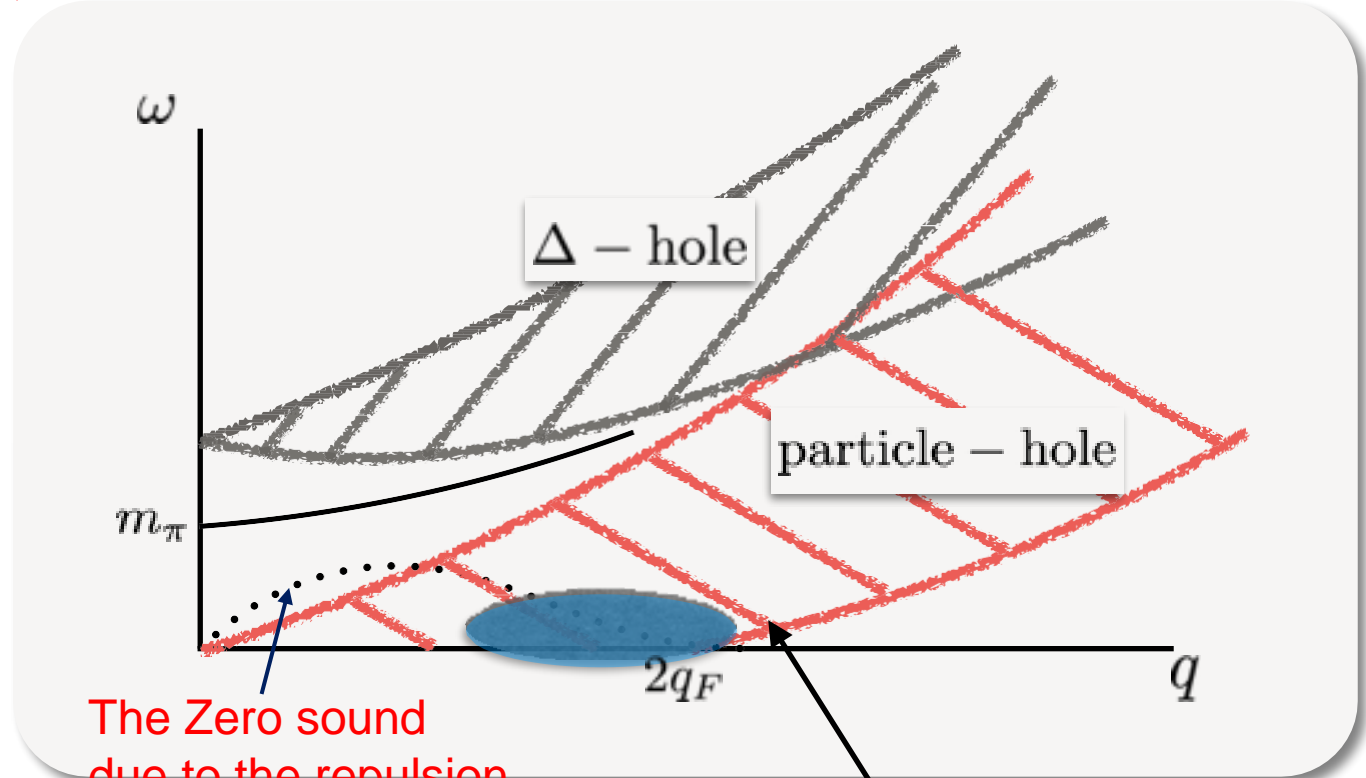
Δ -hole励起を含めた解析と結果

菊池勇太,TK, 2014年日本物理学会第69回年次大会春季大会3/27~3/30@東海大学,

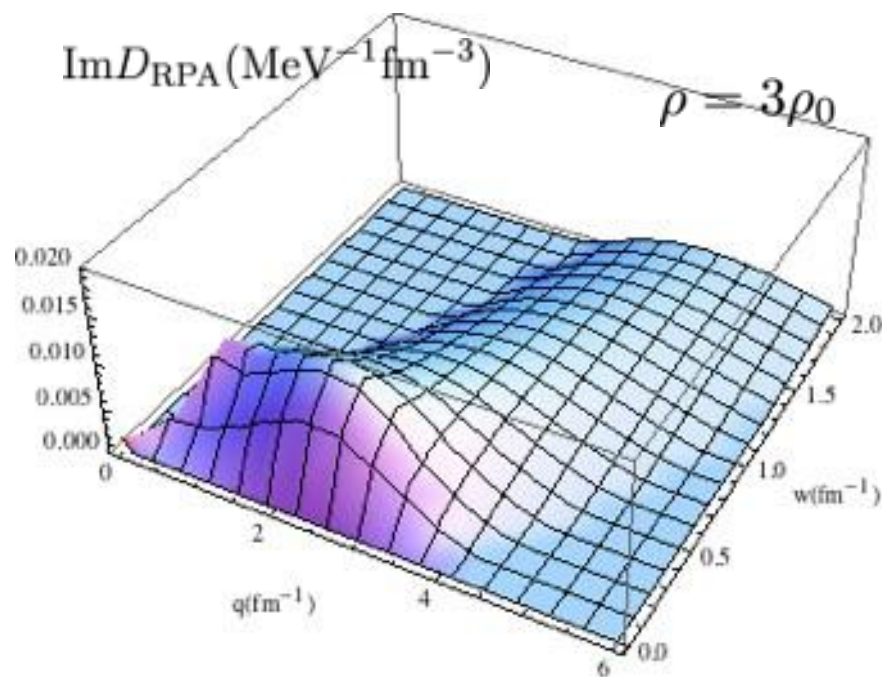
予想される分散関係 Unpublished.

Δ -hole propagationの寄与を考慮することで、パイ中間子モードの更なるソフト化が期待される。

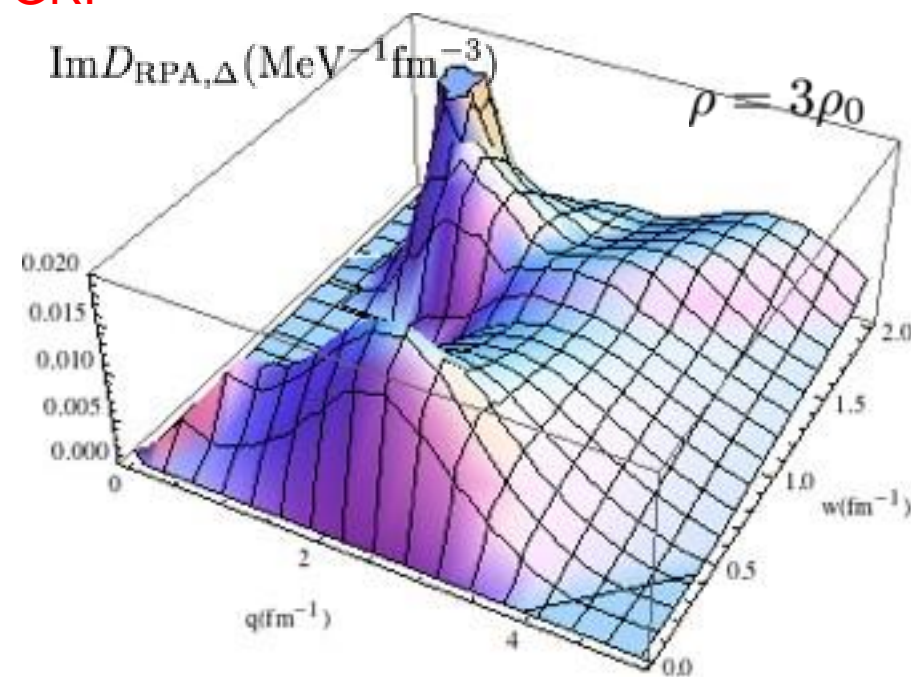
計算結果



ソフト化?



RPA (particle-hole)



RPA (including Δ)

A pioneering experiment to probe the longitudinal spin-isospin mode in a nucleus

M. Ichimura, H. Sakai, and T. Wakasa, Prog. Particle and Nucl. Phys. 56(200) 446. p.506:

Another phenomenon that may provide evidence of a precursor is enhancement of the $T = 0$, $J^\pi = 0^+ \rightarrow T = 1, J^\pi = 0^-$ transition at large momentum transfers, because it is a pure isovector spin longitudinal transition. Orihara et al. [188] measured the angular distribution of $^{16}\text{O}(p, n)^{16}\text{F}(0^-)$ at $T_p = 35$ MeV up to a momentum transfer of 2 fm^{-1} and observed an enhancement from DWBA calculations assuming a pure $1p_{1/2} \rightarrow 2s_{1/2}$ transition. However, the measurements of $^{16}\text{O}(p, p')^{16}\text{O}(0^-, T = 1)$ at $T_p = 65$ MeV [189] and $^{16}\text{O}(p, n)^{16}\text{F}(0^-)$ at $T_p = 79$ MeV [190] did not show any definite evidence of enhancement. We note however that we do not have a reliable method of reaction analysis to obtain quantitative conclusions for such relatively low incident energy and large momentum transfer reactions.

[188] H. Orihara et al, PRL 49 (1982) 1318
v.s.

[189] K. Hosono et al, PRC 30 (1984) 746